

پیش‌بینی حالت‌های حمل و نقل از نقاط خط سیر با استفاده از روش‌های تقویت‌کننده و یادگیری عمیق در حمل و نقل هوشمند

مقاله علمی - پژوهشی

سجاد صولتی، دانشکده مهندسی نقشه‌برداری و اطلاعات مکانی، دانشگاه تهران، تهران، ایران
رحیم علی‌عباسپور^{*}، دانشکده مهندسی نقشه‌برداری و اطلاعات مکانی، دانشگاه تهران، تهران، ایران
علیرضا چهرقان، دانشکده مهندسی معدن، دانشگاه صنعتی سهند، تبریز، ایران

^{*}پست الکترونیکی نویسنده مسئول: abaspour@ut.ac.ir

دریافت: ۱۴۰۱/۰۴/۲۸ - پذیرش: ۱۴۰۲/۰۴/۲۸

صفحه ۱۷۰-۱۴۹

چکیده

امروزه با گسترش شهرنشینی نیاز به حمل و نقل هوشمند به منظور تسهیل رفت و آمد شهر و ندان بیش از پیش مورد توجه قرار گرفته است. شناسایی و پیش‌بینی استفاده از حالت‌های حمل و نقلی یکی از اساسی‌ترین پیش‌نیازها در راه‌اندازی و استفاده از خدمات حمل و نقل هوشمند به شمار می‌آید. با پیشرفت فناوری‌های مکانی، ابزار و تلفن‌های هوشمند، اطلاعات زیادی با استفاده از سیستم‌های تعیین موقعیت ماهواره‌ای (GNSS) توسط سیاری از دستگاه‌ها تولید می‌شود. در این پژوهش، چهار ویژگی نقطه‌ای، ۶۵ ویژگی سفر و سه ویژگی پیشرفتی استخراج شده، چهار مدل کلاسی‌بندی *GB*, *CatBoost* و *LightGBM*, *XGBoost* و *ConvLSTM* و *LSTM* و *CNN* مجموعه روش تقویت‌کننده (*Boosting*) پس از انتخاب ویژگی ترکیبی به همراه سه مدل کلاسی‌بندی *Zirer* مجموعه روش پیادگیری عمیق پیاده‌سازی و بررسی شده تا بتوان حالت‌های حمل و نقلی شامل: پیاده‌روی، استفاده از دوچرخه، زیر مجموعه روش پیادگیری عمیق پیاده‌سازی و بررسی شده تا بتوان حالت‌های حمل و نقلی شامل: پیاده‌روی، استفاده از دوچرخه، استفاده از اتوبوس، استفاده از اتومبیل و استفاده از قطار را با استفاده از مجموعه داده‌های *GeoLife* پیش‌بینی کرد. نتایج نشان داد مدل *LightGBM* با کسب F_{Score} بالاتر (۹۵/۴۹ درصد) و پیچیدگی زمانی کمتر، بهترین مدل نسبت به مدل‌های دیگر است.

واژه‌های کلیدی: حمل و نقل هوشمند، حالت‌های حمل و نقل، خط سیر، یادگیری عمیق

۱- مقدمه

Chamoso, González-Briones et al. 2018, Tamane, Dey et al. 2020 که شامل استفاده از فناوری‌های اطلاعاتی و ارتباطی به منظور مدیریت زیرساخت‌ها، وسایل نقلیه، کاربران و جریان‌های ترافیکی و حرکتی است که در ارتباط با سایر حالت‌های حمل نقلی می‌باشد (Payne 2015). عادت‌های حرکتی افراد و نحوه استفاده از حالت‌های حمل و نقلی و جابجایی بین دونقطه مطابق با یک چرخه زمانی معین، دارای نظم و الگوی خاصی است.

امروزه با توجه به توسعه شهرها، ساخت، توسعه، مدیریت و استفاده از سیستم‌های حمل و نقلی امری ضروری برای کشورهای پیشرفته بوده و نقش کلیدی در زندگی روزمره شهر و ندان دارد. استفاده از وسایل حمل و نقلی در صورت برنامه‌ریزی صحیح می‌تواند به عنوان ابزاری مفید برای نظارت هوشمند مورد استفاده قرار گیرند (Quesada, Pereira et al. 2020). سیستم حمل و نقل هوشمند یکی از ارکان موثر شهر هوشمند شمرده می‌شود (Jarašuniene 2007).

ساختار مقاله حاضر به این شرح است: پس از مقدمه در بخش اول، در بخش دوم به بیان پیشینه تحقیق پرداخته می‌شود. بخش سوم به تعاریف و رویکرد کلی مسئله اختصاص یافته، بخش چهارم پیاده‌سازی و ارزیابی نتایج صورت گرفته است و بخش آخر نیز به نتیجه‌گیری و ارائه پیشنهادها می‌پردازد.

۲-پیشینه تحقیق

مطالعاتی مختلفی در جهت پیش‌بینی حالت‌های حمل و نقل انجام پذیرفته و تفاوت این مطالعات در داده‌های مورد استفاده، ویژگی‌های استخراج شده و مدل‌های کلاسیفیکاتوری می‌باشد. برخی از مطالعات در کنار داده‌های GNSS از اطلاعات مکانی استفاده می‌کنند، به عنوان مثال در (Chung and Shalaby 2005) هر مسیر ثبت شده به وسیله نقاط GNSS با شبکه راه مطابقت داده می‌شود و سپس حالت‌های حمل و نقلی بر اساس مشخصات مسیر پیش‌بینی می‌شوند. در (Stenneth, 2011 Wolfson et al. 2011) با در نظر گرفتن ایستگاه اتوبوس، خط راه‌آهن و نقاط برخط ثبت شده داخل اتوبوس، با استفاده از مدل جنگل تصادفی به دقیقه ۹۳/۵ دست یافته‌اند. استفاده از داده‌های مکانی منجر به بالارفتن دقیقه نهایی خواهد شد اما این داده‌ها در شهرهای پیش‌روفت، همواره در حال تغییر بوده و در برخی از مناطق در دسترس نمی‌باشند. تعدادی از مطالعات اطلاعات شخصی مسافران را در کنار نقاط GNSS در نظر می‌گیرند (Stopher, FitzGerald et al. 2008, Bantis and Haworth 2017). این اطلاعات برای پیش‌بینی حالت‌های حمل و نقلی مفید هستند اما دستیابی به آنها دشوار و موجب به خطر افتادن حریم خصوصی افراد خواهد شد. برخی از مطالعات از حسگرهای شتاب در کنار داده‌های GNSS استفاده می‌کنند (Bedogni, Di Felice et al. 2016). در برخی دیگر از ترکیب سنسورهای دیگر تلفن‌های هوشمند (به جز GNSS) استفاده شده است (Su, Caceres et al. 2016). استفاده از این داده‌ها موجب دقت پیش‌بینی بالاتری خواهد شد اما وابستگی به سنسورهای بیشتری وجود خواهد داشت همچنین استفاده از این داده‌ها به محاسبات زیادی نیاز دارد و پردازش برخی از آنها دشوار خواهد بود. ویژگی‌های متفاوتی در مقالات استخراج شده است، به عنوان مثال در (Wang, Wang et al. 2018) با استخراج ۱۱ داده (Dabiri ویژگی به دقیقه ۹۰/۶ درصد دست یافته است. در

شناخت این الگوهای پنهان یکی از مهمترین مراحل توسعه و اداره شهرها در حمل و نقل هوشمند می‌باشد (Adler and Blue 1998, Scheiner and Holz-Rau 2007 پیشرفت فناوری‌های موقعیت‌یابی و توسعه خدمات مکانیکی موجب گشته دستگاه‌های هوشمند به بخش جدنشدنی و ضروری در فعالیت‌ها و تعاملات روزمره افراد تبدیل شوند Chon and Cha 2011, Chatzimilioudis, Konstantinidis et al. 2012, Kitchin 2014) از داده‌های سیستم‌های تعیین موقعیت ماهواره‌ای GNSS تولید شده از دستگاه‌های هوشمند، زمینه را برای بسیاری از تحقیقات مبتنی بر مکان فراهم می‌کند، از جمله این موارد شامل: استخراج الگوی فعالیت روزانه افراد (Phithakkitnukoon, Horanont et al. 2010) و بروزرسانی شبکه جاده‌ها و مسیر عابر پیاده (Tang, Yang et al. 2016, Yang, Tang et al. 2018) نظارت بر حمل و نقل (Tang, Kan et al. 2016)، تشخیص کاربری زمین (Pan, Qi et al. 2012) برنامه‌ریزی مسیر و توصیه احداث نقاط مورد علاقه (Bao, Zheng et al. 2015, Cui, Luo et al. 2018) گام اولیه و مهم برای دستیابی به این موارد شناسایی حالت (mode) حمل و نقلی افراد خواهد بود. هدف این پژوهش پیاده‌سازی کلاسیفیکاتوری های تقویت‌کننده^۱ و یادگیری عمیق و همچنین مقایسه دقیقه زمان پاسخ‌گویی این دو مدل به منظور پیش‌بینی حالت‌های حمل و نقلی می‌باشد. در این پژوهش از مجموعه داده GeoLife به عنوان داده‌های GNSS استفاده شده (Zheng, Fu et al. 2011) که حالت‌های حمل و نقلی شامل: پیاده‌روی، استفاده از دوچرخه، استفاده از اتومبیل، استفاده از اتوبوس و استفاده از قطار را پیش‌بینی می‌کند. تعداد چهار ویژگی نقطه‌ای کینماتیک شامل: سرعت، شتاب، جرک، تغییر جهت و چهارده ویژگی آماری سفر برای هر یک از ویژگی‌های نقطه‌ای به همراه سه ویژگی پیشرفتی استخراج شده است. به منظور افزایش دقیقه، ویژگی‌های سفر با اجرای روش ترکیبی انتخاب شده‌اند. پیش‌بینی حالت‌ها بر اساس مدل‌های CatBoost^۲، LightGBM^۳ و XGBoost^۴ که زیرمجموعه‌ای از روش تقویت‌کننده در یادگیری ماشین هستند، به همراه مدل‌های LSTM^۵، CNN^۶ و ConvLSTM^۷ یادگیری عمیق پیاده‌سازی شده است.

مدل‌های کلاسه‌بندی پیاده‌سازی شده و در پایان مدل‌ها ارزیابی می‌شوند. در ادامه این مراحل تحلیل و بررسی می‌شوند.

۱-۳- پیش‌پردازش داده‌ها

به دلیل امکان اندازه‌گیری و ثبت نادرست ناشی از محدودیت تکنیک‌های تعیین موقعیت، خطای سیستماتیک دستگاه‌های ثبت نقاط و خطاهای انسانی، برای انجام محاسبات صحیح، نیاز به پیش‌پردازش داده خواهد بود (Langley 1997). در فرآیند پیش‌پردازش، ابتدا داده‌های تکراری با زمان ثبت یکسان و مختصات‌های خارج از محدوده حذف می‌شوند سپس حدآستانه سرعت و شتاب برای هر حالت حمل و نقلی تعیین و تمامی داده‌ها براساس این حدآستانه فیلتر می‌شوند. داده‌هایی که فاصله زمانی آن با نقطه بعدی بیش از ۱۵ دقیقه باشد به عنوان یک سفر جداگانه بررسی می‌شوند (Guo, Liang et al. 2020). به دلیل محاسبه جرک، سفرهایی که کمتر از ۳ نقطه داده دارند، حذف می‌شوند و در نهایت با توجه به رویکرد کلاسه‌بندی، سفرها به یک حالت حمل و نقلی تقسیم‌بندی خواهند شد. جدول (۱) براساس ویژگی‌های طبیعی موجود در هر یک از حالت‌های حمل و نقلی، حد آستانه سرعت و شتاب را نمایش می‌دهد (Dabiri and Heaslip 2018).

جدول ۱. مقادیر حدآستانه سرعت و شتاب بر اساس حالت‌های حمل و نقل

حدآستانه شتاب (متر بر می‌جذور ثانیه)	حدآستانه سرعت (متر بر ثانیه)	حالت حمل و نقلی
۳	۷	پیاده‌روی
۳	۱۲	استفاده از دوچرخه
۲	۳۶	استفاده از اتوبوس
۱۰	۵۰	استفاده از اتومبیل
۳	۳۶	استفاده از قطار

۲-۳- استخراج ویژگی

شناسایی حالت‌های حمل و نقلی نیازمند استخراج ویژگی از نقاط GNSS خواهد بود. استخراج ویژگی مناسب، رابطه مستقیمی در دقت پیش‌بینی خواهد داشت. ویژگی‌های استخراج شده شامل: ویژگی‌های نقطه‌ای، که با توجه به مختصات نقاط ثبت شده در سری نقاط، محاسبه می‌گردد (Dabiri and Heaslip 2018)؛ ویژگی‌های سفر که شامل عملگرهای آماری می‌باشند تا ویژگی‌های موثر را در طول کل

است (and Heaslip 2018) (Nawaz, Zhiqiu et al. 2020) ویژگی‌های حرکتی سرعت، شتاب، جرک و تغییر جهت و دو ویژگی روزهفتة و زمان برش خورده به عنوان ورودی در الگوریتم ConvLSTM استفاده شده است که توانسته با اضافه کردن ویژگی‌ها، دقت را ۳ درصد بهبود بخشد. مورد دیگر پرداخته شده در مقالات استفاده از کلاسه‌بندی‌های متفاوت است. مدل-هایی شامل: درخت تصمیم (Zheng, Liu et al. 2008)، ماشین بردار پشتیبان (Bolbol, Cheng et al. 2012)، داده‌های فازی (Das, Jahangiri and Rakha 2014)، Wang (and Winter 2016 (Wang et al. 2018, Li, Pei et al. 2021 Endo, Toda et al. 2016, Song, Kanasugi et al. 2016, Vu, Dung et al. 2016, Dabiri and Heaslip 2018, Nawaz, Zhiqiu et al. 2020) به منظور افزایش توانایی شناسایی حالت حمل و نقل استفاده شده است. شناسایی حالت‌های حمل و نقلی افراد تنها با استفاده از داده‌های GNSS موضوع مهم و ارزشمندی می‌باشد که در این پژوهش از آن استفاده شده است. در بیشتر تحقیقات از داده‌های Geolife به دلیل کیفیت و کمیت بالا استفاده شده (Zheng, Liu et al. 2008, (Dabiri and Heaslip 2018, Li, Pei et al. 2021) برخی از مطالعات نیز داده‌ها به صورت مستقل جمع‌آوری شده (Bantis and Haworth 2017) و یا توسط سازمان‌های دولتی منتشر شده‌اند (Biljecki, Ledoux et al. 2013).

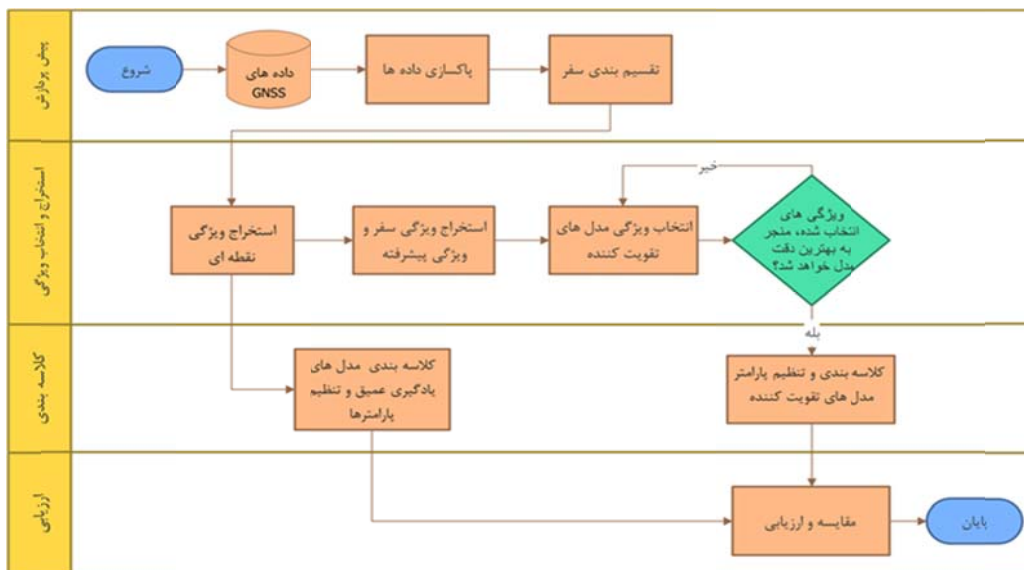
۳- رویکرد مورد استفاده

کلاسه‌بندی‌های تقویت‌کننده نیازمند استخراج ویژگی‌های سفر و پیشرفت‌هه می‌باشند، این ویژگی‌ها توسط کارشناس و به صورت دستی انتخاب می‌شوند. کلاسه‌بندی‌های یادگیری عمیق، نیاز به نظر کارشناس نداشته و ویژگی‌های عمیق را از داده‌های ورودی استخراج می‌کند. در این پژوهش، هر دو روش پیاده‌سازی شده تا بتوان دقت‌های پیش‌بینی بدست آمده را مقایسه کرد. رویکرد شناسایی حالت‌های حمل و نقلی شامل چهار گام پردازشی می‌باشد. مطابق با فلوچارت شکل (۱) داده‌های GNSS پیش‌پردازش شده و ویژگی‌های مؤثر استخراج و در مدل‌های تقویت‌کننده انتخاب می‌شوند. در ادامه

۳-۳- انتخاب ویژگی

انتخاب ویژگی به معنای استفاده از آزمون‌های آماری به منظور تعیین ویژگی‌هایی است که موجب آموزش سریع، کاهش پیچیدگی مدل، جلوگیری از بیش‌برازش و بهترین پیش‌بینی گردد. در این پژوهش انتخاب ویژگی در مدل‌های کلاسه‌بندی تقویت‌کننده پیاده‌سازی شده که از یک روش ترکیبی شامل روش برنامه‌ای فیلتر^{۱۲} و روش برنامه‌ای بسته-بندی^{۱۳} استفاده شده است (Venkatesh and Anuradha, 2019).

Xiao et al. 2017 سفر با استفاده از ویژگی‌های نقطه‌ای استخراج می‌کند (Wang et al. 2017) و ویژگی‌های پیشرفته که به منظور مقابله با شرایط ترافیکی و آب‌وهوایی با در نظر گرفتن حد آستانه از ویژگی‌های نقطه‌ای استخراج می‌شود (Zheng, Li et al. 2008)، می‌باشد. جدول (۲) ویژگی‌های استخراج شده در این پژوهش را همراه با معادله و توضیح هر یک از پارامترها نمایش می‌دهد. مقادیر حد آستانه ویژگی‌های پیشرفته، نرخ تغییر جهت، نرخ توقف و نرخ تغییر سرعت، به ترتیب Zheng, Li et al. (2008) در نظر گرفته شده‌اند (۱۹/۰۷/۲۶ و ۳/۴/۰۷/۲۶).



شکل ۱. فلوچارت رویکرد حل مسئله

جدول ۲. ویژگی‌های استخراج شده

نوع	نام	معادله	توضیحات
سرعت	سرعت	$V_{p_1} = \frac{D(P_1, P_2)}{\Delta T}$	V_{p_1} بیانگر سرعت در نقطه P_1 , P_2 می‌باشد. $D(P_1, P_2)$ فاصله ژئودتیک بین دو نقطه P_1 و P_2 و ΔT زمان طی شده بین دو نقطه بر حسب ثانیه می‌باشد.
شتاب	شتاب	$A_{p_1} = \frac{V_{p_2} - V_{p_1}}{\Delta T}$	A_{p_1} بیانگر شتاب در نقطه P_1 , P_2 می‌باشد. V_{p_1} , V_{p_2} سرعت در نقطه P_1 , P_2 و ΔT سرعت در نقطه P_1 و P_2 و زمان طی شده بین دو نقطه می‌باشد.
جرک	جرک	$J_{p_1} = \frac{A_{p_2} - A_{p_1}}{\Delta T}$	J_{p_1} بیانگر جرک در نقطه P_1 , P_2 می‌باشد. A_{p_1} , A_{p_2} شتاب در نقطه P_1 , P_2 و ΔT شتاب در نقطه P_1 و P_2 و زمان طی شده بین دو نقطه می‌باشد.
ویژگی تغییر جهت (Dabiri and Heaslip 2018)	تغییر جهت	$B_{(P_i)} = \text{Arctan}\left(\frac{y_i}{x_i}\right)$ $B_{Rate_{(P_1)}} = B_{P_2} - B_{P_1} $	$B_{(P_i)}$ بیانگر تغییر جهت در نقطه P_1 و (P_i) جهت نقطه P_1 را نشان می‌دهد.

تعداد نمونه‌ها و X_i مقدار نمونه‌ها می‌باشد.	$\bar{X} = \frac{\sum_{i=1}^n X_i}{n}$	میانگین	
تعداد نمونه‌ها و i شماره ایندکس نمونه می‌باشد.	$X_i \rightarrow \begin{cases} i = \frac{n}{2} & \text{if } n \text{ is even} \\ i = \frac{(n+1)}{2} & \text{if } n \text{ is odd} \end{cases}$	مد	
تعداد نمونه‌ها و μ میانگین داده‌ها می‌باشد.	$\sigma = \sqrt{\frac{\sum_{i=1}^n (x_i - \mu)^2}{n}}$	انحراف معیار	
بیشترین مقداری که در داده‌ها یافت می‌شود.	---	بیشته مقدار	
کمترین مقداری که در داده‌ها یافت می‌شود.	---	کمینه مقدار	
بیانگر تفاضل بیشته مقدار و کمینه مقدار می‌باشد.	---	محدوده مقدار	
تعداد نمونه‌ها، i شماره ایندکس، Q_{10} بیانگر ۱۰امین صدک، Q_{25} ۲۵امین صدک، Q_{75} ۷۵امین صدک و Q_{90} ۹۰امین صدک می‌باشد.	$X_i \rightarrow \begin{cases} i = \frac{1}{10}(n+1) \rightarrow Q_{10} \\ i = \frac{1}{4}(n+1) \rightarrow Q_{25} \\ i = \frac{3}{4}(n+1) \rightarrow Q_{75} \\ i = \frac{9}{10}(n+1) \rightarrow Q_{90} \end{cases}$	صدک	
بیانگر Q_{25} ۲۵امین صدک و Q_{75} ۷۵امین صدک می‌باشد.	$Q_{3,1} = Q_{75} - Q_{25}$	محدوده بین چارکی	
بیانگر میانگین و σ انحراف معیار داده‌ها می‌باشد.	$S = E \left[\left(\frac{X - \mu}{\sigma} \right)^3 \right]$	چولگی	
بیانگر میانگین و σ انحراف معیار داده‌ها می‌باشد.	$K = E \left[\left(\frac{X - \mu}{\sigma} \right)^4 \right] - 3$	کشیدگی	
بیانگر میانگین و σ انحراف معیار داده‌ها می‌باشد.	$V = \frac{\sigma}{\mu}$	ضریب تغیرات	
بیانگر تعداد دفعاتی است که مقدار جهت نقاط GNSS از حد آستانه تعیین شده بیشتر باشد.	$HCR = \frac{ P_c }{Distance}$	نرخ تغییرجهت	ویژگی‌های پیشرفت (Zheng, Li et al. 2008)
$P_s = [p_i p_i \in P, V(p_i) < V_s]$ و V_s حد آستانه تعیین شده این ویژگی می‌باشد.	$SR = \frac{ P_s }{Distance}$	نرخ توقف	
$P_v = [p_i p_i \in P, VR(p_i) > V_r]$ و V_r حد آستانه تعیین شده این ویژگی می‌باشد.	$VCR = \frac{ P_v }{Distance}$ $VR(p_1) = \frac{ V_{p_2} - V_{p_1} }{V_{p_1}}$	نرخ تغییر سرعت	

۱-۳-۳-۱- انتخاب ویژگی بر مبنای فیلتر

همچنین برای حذف ویژگی‌های نیمه ثابت مقدار حد آستانه واریانس ۰/۰۱ در نظر گرفته شده است. ویژگی‌هایی که دارای همبستگی زیادی با ویژگی‌های دیگر هستند علاوه بر تاثیر نداشتن در دقت مدل نهایی، موجب افزایش پیچیدگی مدل یادگیری خواهد شد به همین دلیل پس از تشکیل ماتریس همبستگی، ویژگی‌هایی که مقدار ضریب همبستگی آن‌ها در

در این روش، ویژگی‌هایی که دارای اهمیت کمتری هستند از مجموعه ویژگی‌ها فیلتر و حذف می‌شوند. هنگامی که داده‌های یک ویژگی بیش از حد به هم شبیه باشند، دقت پیش‌بینی کاهش پیدا می‌کند. به همین منظور ویژگی‌های ثابت و نیمه ثابت با تعیین حد آستانه واریانس، از داده‌ها حذف خواهد شد. با توجه به معادله (۱) اگر مقادیر مجموعه داده‌های یک ویژگی باهم برابر باشند، واریانس آن صفر محاسبه می‌گردد.

همچنین از step decay schedule طبق معادله (۲) به منظور محاسبه نرخ یادگیری (Ge, Kakade et al. 2019) به همراه روش توقف زودهنگام با استفاده از داده‌های ارزیابی Caruana, (Lawrence et al. 2001) برای جلوگیری از بیشبرازش استفاده شده است ().

$$LR = LR_0 \times DF^{epoch/S} \quad (2)$$

در معادله (۲)، LR_0 بیانگر نرخ اولیه یادگیری، DF مقدار کاهش، $epoch$ تعداد تکرار و S تعداد گام کاهشی می‌باشد. در ادامه تعریف مختصری از مدل‌های کلاس‌بندی ارائه خواهد شد.

۱-۴-۳- مدل GB

در این روش مدل‌های ضعیف با استفاده از درختان تصمیم ساخته می‌شوند و به صورت تقویت‌کننده و محاسبه تابع هزینه به شکل تکراری موجب پیش‌بینی می‌گردد. این مدل سعی در کاهش خطای (پایاس) دارد. معادلات (۳) نشان‌دهنده نحوه محاسبه این مدل می‌باشد (Friedman 2001).

$$\begin{aligned} F_0 &= \operatorname{argmin} \sum_{i=1}^n L(y_i, \gamma) \quad (3) \\ L(y_i, \gamma) &= -\log(\text{likelihood}) \\ &= -[y_i \log(P) + (1 - y_i) \log(1 - P)] \\ \frac{d}{d \log(\text{odds})} &= -y_i + \frac{e^{\log(\text{odds})}}{1 + e^{\log(\text{odds})}} = \\ &- \text{observed} + \text{Predicted} \\ F_m(x) &= F_{m-1}(x) + v \sum_{j=1}^{jm} \gamma_{jm} I(x \in R_{jm}) \\ \gamma &= \frac{\text{Residual}}{P(1-P)} \end{aligned}$$

در معادلات (۳)، L بیانگر تابع هزینه، y_i برجسب مشاهدات، x بیانگر ویژگی‌ها، P احتمال رخداد، v نرخ یادگیری، γ تبدیل چند احتمال یک برگ به یک احتمال، F_0 برآورده احتمال مرحله اول و $F_m(x)$ برآورده احتمال بقیه مراحل به جز مرحله اول می‌باشد.

۱-۴-۴- مدل XGBoost

این مدل یک روش بهبود یافته مدل GB می‌باشد که می‌تواند با سرعت و دقت بالایی پیش‌بینی را انجام دهد. این روش با اضافه کردن مقدار منظم‌سازی^{۱۷} موجب کاهش بیشبرازش خواهد شد. معادله (۴) نحوه محاسبه تابع هزینه را نشان می‌دهد (Chen and Guestrin 2016). ترم اول این معادله بیانگر تابع هزینه و ترم دوم منظم‌سازی می‌باشد. نشان‌دهنده تعداد برگ‌های درخت تصمیم و گاما پنالتی

ماتریس بیش از ۹۰٪ می‌باشد نشان‌دهنده همبستگی بسیار زیاد خواهد بود و از مجموعه ویژگی‌ها حذف می‌شوند (Jović, Brkić et al. 2015).

$$\sigma^2 = \frac{\sum_{i=1}^N (x_i - \mu)^2}{N} \quad (1)$$

در معادله (۱) N تعداد نمونه‌ها و μ میانگین داده‌ها می‌باشد.

۲-۳-۲- انتخاب ویژگی بر مبنای بسته‌بندی

این فرآیند یک روش جستجوی روبه‌جلو^{۱۸} می‌باشد که ویژگی‌ها را با توجه به برچسب داده‌ها تنظیم کرده و ویژگی‌هایی که موجب دقت بهینه می‌شوند، انتخاب می‌کند (Jović, Brkić et al. 2015). در این پژوهش پس از انتخاب هر ویژگی، دقت آن با توجه به مدل کلاس‌بندی انتخابی بررسی شده و ویژگی که بیشترین دقت را کسب کرده، انتخاب می‌شود. ویژگی‌های بعدی شامل ویژگی‌های انتخاب شده قبلی نیز می‌باشد. به منظور بالا بردن دقت محاسبات، از روشن K_Fold Cross Validation استفاده شده است، در این روش داده‌های آموزشی به K تعداد تقسیم و بسته‌بندی می‌شوند و فرآیند مورد محاسبه K بار تکرار می‌شود، در هر تکرار یک بسته به عنوان داده اعتبارسنجی انتخاب شده و محاسبه دقت انجام می‌پذیرد، در انتها دقت نهایی برابر میانگین K تکرار می‌باشد (Han, Kamber et al. 2011).

۴-۳- کلاس‌بندی

کلاس‌بندی یکی از مراحل اساسی پیش‌بینی حالت‌های حمل و نقلی می‌باشد که به معنای آموزش مدلی برای جداسازی داده‌ها بر اساس برچسب آنها در کلاس‌هایی است که قابلیت پیش‌بینی داده‌های بدون برچسب را داشته باشد. کلاس‌های خروجی در این پژوهش شامل: پیدارویی، استفاده از دوچرخه، استفاده از اتومبیل، استفاده از قطار و استفاده از اتوبوس می‌باشد. چهار مدل کلاس‌بندی تقویت‌کننده زیرمجموعه، XGBoost، GB، CatBoost، LightGBM و سه مدل یادگیری عمیق شامل ConvLSTM، LSTM، CNN، پیاده‌سازی شده است. در کلاس‌بندی یادگیری عمیق از آنروپی متقابل رسته‌ای^{۱۹} به عنوان تابع هزینه^{۲۰} و بهینه‌ساز Adam به منظور بروزرسانی پارامترها استفاده شده است (Kingma and Ba 2014).

در معادله (۶) x_i بردار داده‌ها، g_i مقدار گرادیان منفی محاسبه شده ازتابع هزینه و d محدوده است. با حل بسط $A_l = [x_i \in A : x_{ij} \leq d]$ و $B_l = [x_i \in B : x_{ij} > d]$ می‌باشد.

با استفاده از الگوریتم حریصانه EFB می‌توان تعداد ویژگی‌ها را بدون آسیب رساندن به دقت کاهش داد. داده‌های با ابعاد بالا معمولاً به شکل پراکنده می‌باشند و مقادیر غیرصرف را در طول سطراها با هم در نظر نمی‌گیرند، به همین منظور از متند EFB استفاده می‌شود تا بتوان ابعاد ویژگی‌ها را کاهش داد و باندل‌هایی از تلفیق ویژگی‌ها ساخت. در EFB از گراف‌های رنگی برای یافتن ویژگی‌هایی که قابلیت تلفیق دارند استفاده می‌شود و با توجه به هیستوگرام ویژگی‌ها، باندل تشکیل می‌شود (Ke, Meng et al. 2017).

۴-۴-۳- مدل CatBoost

یک الگوریتم ابتکاری که در آن ویژگی‌های رسته‌ای^{۲۰} به طور خودکار به جای پیش‌پردازش، در طول آموزش به عدد تبدیل می‌شوند. در این مدل درختان تصمیم به شکل متقارن ساخته می‌شود که منجر به پیش‌بینی سریع خواهد شد (Prokhorenkova, Gusev et al. 2017).

یکی از روش‌های تبدیل ویژگی‌های رسته‌ای، استفاده از Greedy TBS^{۲۱} می‌باشد؛ در این روش از میانگین مقدار برچسب و استفاده از آن در یافتن نقطه تقسیم درخت تصمیم استفاده می‌شود. در مدل CatBoost یک مقدار اولیه^{۲۲} استفاده می‌شود. در مدل Greedy TBS افزوده و با استفاده از یک جایگشت تصادفی در داده‌ها، میانگین مقدار برچسب برای هر داده مطابق معادله (۷) جایگزین می‌شود.

$$x_{\sigma_p,k} = \frac{\sum_{j=1}^{p-1} (x_{\sigma_j,k} - x_{\sigma_p,k}) \times y_{\sigma_j} + a \times p}{\sum_{j=1}^{p-1} (x_{\sigma_j,k} - x_{\sigma_p,k}) + a} \quad (7)$$

داده‌ها به صورت $D = [(X_i, Y_i)]_{i=1 \dots n}$ می‌باشند که در آن $X_i = (x_{i,1}, \dots, x_{i,m})$ یک بردار با m ویژگی است و $Y_i \in R$ برچسب داده‌ها می‌باشد. جایگشت‌ها به شکل $(\sigma_1, \dots, \sigma_n) = \sigma$ ، ویژگی‌های رسته‌ای با K مقدار اولیه با P نشان داده شده‌اند و پارامتر $a > 0$ وزن مقدار اولیه می‌باشد. برای اینکه بتوان نتیجه بهینه‌ای یافت می‌توان در هر مرحله P را تغییر داد. در (Dorogush, Ershov et al. 2018) از CatBoost برای Ordered TBS استفاده شده است. اگر مدل‌ها از داده‌آموزشی یکسان برای پیش‌بینی استفاده

تعریف شده توسط کاربر برای هرس درخت است. با حل بسط تیلور تا مرحله دوم، تابع هزینه مطابق معادله (۵) محاسبه می‌شود.

$$L(y_i, P_i) = [\sum_{l=1}^n L(y_i, P_l^m)] + \sum_k \Omega(f_k) \quad (4)$$

$$\Omega(f) = \gamma T + \frac{1}{2} \lambda \|w\|^2 \quad (5)$$

$$L^t(q) = -\frac{1}{2} \sum_{j=1}^T \frac{(\sum_{i \in I_j} g_i)^2}{\sum_{i \in I_j} h_i + \lambda} + \gamma T$$

در معادله (۵)، g_i بیانگر مشتق اول تابع هزینه و h_i مشتق دوم تابع هزینه می‌باشد.

۴-۴-۳- مدل LightGBM

این مدل یکی از انواع GB است که با استفاده از هیستوگرام داده‌ها می‌تواند سرعت پیش‌بینی را ۲۰ برابر به نسبت مدل سنتی افزایش دهد. هزینه اصلی در مدل‌های GB آموزش درخت تصمیم می‌باشد که بیشترین زمان صرف یافتن بهترین نقطه تقسیم می‌شود. زمانی که ابعاد ویژگی‌ها و داده‌ها افزایش می‌یابند، محاسبه information gain برای یافتن نقطه تقسیم مشکل است و موجب می‌گردد تاثیرگذاری و مقیاس پذیری EFB^{۱۸} و GOSS^{۱۹} کاهش یابد. استفاده از دو تکنیک در کنار مدل GB نامیده می‌شود. در این مدل، داده‌هایی که گرادیان بیشتری دارند نقش مهمی در ساخت درخت تصمیم ایفا می‌کنند. در GOSS بخش قابل توجهی از نمونه‌ها که گرادیان بالایی دارند به همراه نمونه‌برداری تصادفی information gain کوچک به تخمین از پردازد. این مدل به دلیل استفاده کم از حافظه برای اجرا می‌تواند حجم زیادی از داده‌ها را کنترل کند. به این منظور ابتدا داده‌ها بر اساس قدرمطلق گرادیان محاسبه شده، مرتب می‌شوند؛ $a \times 100\%$ داده‌هایی که بیشترین مقدار را دارند نمونه‌برداری می‌شوند و در زیرمجموعه A نگهداری می‌شوند؛ به شکل تصادفی $b \times 100\%$ داده‌های باقیمانده نمونه‌برداری می‌شوند و در زیرمجموعه B نگهداری می‌شوند و در نهایت نمونه‌هایی که به شکل تصادفی نمونه‌برداری شده‌اند با ثابت $\frac{1-a}{b}$ تقویت می‌شود. مقدار تخمینی variance Ke, Meng et al. (2017) مطابق معادله (۶) محاسبه می‌شود.

$$\tilde{V}_j(d) = \frac{1}{n} \left(\frac{(\sum_{x_i \in A_l} g_i + \frac{1-a}{b} \sum_{x_i \in B_l} g_i)^2}{n_l^j(d)} + \frac{(\sum_{x_i \in A_r} g_i + \frac{1-a}{b} \sum_{x_i \in B_r} g_i)^2}{n_r^j(d)} \right) \quad (6)$$

لایه تابع فعالسازی: نورون‌ها با یک تابع فعالسازی همراه هستند. در این مقاله از تابع فعالسازی ReLU^{۴۵} استفاده شده است (Krizhevsky, Sutskever et al. 2017).

۳. لایه Pooling: هدف از ساخت این لایه، کنترل بیشبرازش Scherer, Müller et al. (2010) و محاسبات کمتر می‌باشد (در این پژوهش از Max pooling استفاده شده است که با توجه به اندازه فیلتر و گام مشخص شده، بیشینه مقدار فیلتر را در نظر می‌گیرد).

۴. لایه Fully-Connected: این لایه از نورون‌های کاملاً متصل تشکیل شده‌اند که نقش استخراج ویژگی را خواهند داشت. به دلیل چندکلاسه بودن مسئله، تابع فعالسازی لایه آخر Softmax می‌باشد که تعداد نورون‌ها در این لایه به اندازه تعداد کلاس‌ها تعريف می‌شود (Nwankpa, Ijomah et al. 2018).

۶-۴-۳- مدل LSTM

این مدل یک شبکه عصبی بازگشتی^{۵۰} به شمار می‌آید که در پردازش داده‌های زمانی و ترتیبی استفاده می‌شوند. مدل‌های RNN می‌توانند ورودی قبلی را در حافظه داخلی به خاطر سپرده و از آن برای پردازش دنباله ورودی‌ها استفاده نمایند. به دلیل دو مشکل Exploding Gradient و Vanishing در مدل شبکه عصبی بازگشتی، توانایی ثبت وابستگی زمانی برای مدت طولانی وجود نخواهد داشت (Bengio, Frasconi et al. 1993, Hochreiter 1998 با این موضوع از عماری LSTM استفاده می‌شود. در عماری LSTM، سه دورازه شامل: دروازه فراموشی^{۵۱} f_t ، دروازه ورودی^{۵۲} یا بروزرسانی^{۵۳} t و دروازه خروجی^{۵۴} o_t به کار گرفته می‌شود. شکل (۳) و معادلات (۸) نشان‌دهنده مراحل Gers, Schmidhuber et al. (1999).

$$i_t = \sigma(W_{xi}x_t + W_{hi}h_{t-1} + W_{ci}c_{t-1} + b_i) \quad (8)$$

$$f_t = \sigma(W_{xf}x_t + W_{hf}h_{t-1} + W_{cf}c_{t-1} + b_f)$$

$$\tilde{C}_t = \tanh(W_{xc}x_t + W_{hc}h_{t-1} + b_c)$$

$$C_t = f_t \times C_{t-1} + i_t \times \tilde{C}_t$$

$$o_t = \sigma(W_{xo}x_t + W_{ho}h_{t-1} + W_{co}c_t + b_o)$$

$$h_t = o_t \times \tanh(C_t)$$

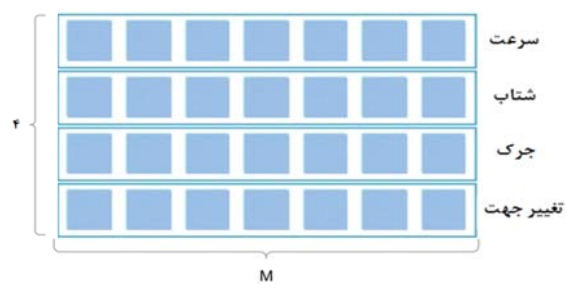
در این معادله h_{t-1} لایه پنهان مرحله قبل، x_t ورودی، W وزن، b بایاس، σ و \tanh تابع فعالسازی سیگموید و هایپربولیک^{۵۵} C_{t-1} ورودی از مرحله قبلی، f_t دروازه

کنند، موجب Prediction Shift در پیش‌بینی‌ها می‌گردد که برای مقابله با این موضوع از Ordered Boosting استفاده شده است. در این روش داده‌های هر درخت تصمیم، مخلوط می‌شود. این مدل توانایی برخورد با داده‌های غیررسته‌ای را نیز دارد.

۵-۴-۳- مدل CNN

مدل CNN یک شبکه پیش‌خور^{۵۶} می‌باشد و از پرسپترون‌های چندلایه ساخته شده که توانایی ساخت ویژگی‌های عمیق را خواهند داشت (Simonyan and Zisserman 2014 ویژگی‌های مکانی را داراست. در این پژوهش از ۴ لایه بر اساس (Dabiri and Heaslip 2018) استفاده شده است که در ادامه کار هر یک توضیح داده شده است.

۱. لایه ورودی: شامل مجموعه‌ای از نمونه‌های مستقل می‌باشد که هر نمونه یک بخش GNSS با چهار کanal شامل: سرعت، شتاب، جرک و تغییر جهت می‌باشد. ابعاد ورودی، یک چندتایی با اندازه $M \times 4$ می‌باشد. هر سفر تعداد نقاط متفاوتی را در خود ذخیره کرده، به همین دلیل مقدار M متفاوت خواهد بود. ابعاد ورودی در یادگیری عمیق برای همه ورودی‌ها یکسان بوده و M ثابت در نظر گرفته می‌شود به این منظور سفرهایی که نقاط زیادی را دارا هستند، به تعداد M محدود می‌شوند و آنهایی که نقاط کمتر از M دارند، با مقدار صفر پر می‌شوند. شکل (۲) ابعاد لایه ورودی را نشان می‌دهد. مقدار M برابر با میانه تعداد نقاط موجود در سفرها انتخاب می‌شود (Dabiri and Heaslip 2018).



شکل ۲. ابعاد ورودی داده‌ها

۲. لایه Convolutional: این لایه شامل مجموعه‌ای از فیلترهای قابل یادگیری می‌باشد که با گام مشخصی در طول داده‌ها حرکت می‌کنند. در این پژوهش حالت Same Padding فعال است تا ابعاد فضای ورودی لایه تغییر نکند.

معادله (۱۲) استفاده شده است (Han, Kamber et al. 2011, Novaković, Veljović et al. 2017).

$$P = \frac{TP}{TP + FP} \quad (10)$$

$$R = \frac{TP}{TP + FN} \quad (11)$$

$$F_{Score} = \frac{2PR}{P + R} \quad (12)$$

در ماتریس پیچیدگی رسم شده در جدول (۳)، مثبت درست نشان‌دهنده تعداد مواردی است که نمونه عضو کلاس مثبت باشد و به درستی عضو همین کلاس تشخیص داده شود، منفی نادرست تعداد مواردی است که نمونه عضو کلاس مثبت نادرست تعداد مواردی است که نمونه عضو کلاس منفی باشد و به اشتباه عضو کلاس مثبت تشخیص داده شود، مثبت نادرست تعداد مواردی است که نمونه عضو کلاس منفی باشد و به اشتباه عضو کلاس مثبت تشخیص داده شود و درنهایت منفی درست تعداد مواردی است که نمونه عضو کلاس منفی باشد و به درستی عضو همین کلاس تشخیص داده شود.

جدول ۳. ماتریس پیچیدگی

کلاس پیش‌بینی شده			
پیش‌بینی منفی	پیش‌بینی مثبت		کلاس
منفی نادرست (FN)	مثبت درست (TP)	واقعاً مثبت	۱
منفی درست (TN)	مثبت نادرست (FP)	واقعاً منفی	۰

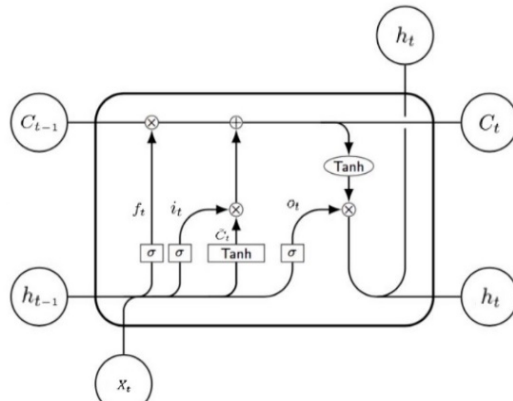
از آنجایی که تعداد کلاس‌های مورد پیش‌بینی بیش از دو کلاس می‌باشد، می‌بایست نتایج هر کلاس میانگین‌گیری شود. به همین دلیل از میانگین خرد (micro) طبق معادلات (۱۳) استفاده شده است (Lipton, Elkan et al. 2014).

$$P_{micro} = \frac{\sum_{i=1}^n TP_i}{\sum_{i=1}^n TP_i + \sum_{i=1}^n FP_i} \quad (13)$$

$$R_{micro} = \frac{\sum_{i=1}^n TP_i}{\sum_{i=1}^n TP_i + \sum_{i=1}^n FN_i}$$

$$F_{Score(micro)} = \frac{2P_{micro}R_{micro}}{P_{micro} + R_{micro}}$$

فراموشی، t دروازه ورودی، \tilde{C}_t خروجی دو دروازه فراموشی و ورودی، C_t آپدیت حالت سلول، O_t دروازه خروجی و h_t خروجی لایه پنهان می‌باشد.



شکل ۳. معماری مدل LSTM

ConvLSTM - ۴-۷-۶-۵

معماری این مدل به جای ضرب ماتریسی موجود در LSTM از عملیات Convolution در هر دو حالت، سلول به سلول و ورودی به سلول استفاده می‌کند که قادر است ویژگی‌های مکانی-زمانی را استخراج کند. معادلات (۹) Shi, Chen et al. (2015) نمایانگر مراحل انجام این مدل می‌باشد (۹).

$$i_t = \sigma(W_{xi} * x_t + W_{hi} * h_{t-1} + W_{ci} * c_{t-1} + b_i) \quad (9)$$

$$f_t = \sigma(W_{xf} * x_t + W_{hf} * h_{t-1} + W_{cf} * c_{t-1} + b_f)$$

$$\tilde{C}_t = \tanh(W_{xc} * x_t + W_{hc} * h_{t-1} + b_c)$$

$$C_t = f_t * C_{t-1} + i_t * \tilde{C}_t$$

$$o_t = \sigma(W_{xo} * x_t + W_{ho} * h_{t-1} + W_{co} * c_t + b_o)$$

$$h_t = o_t * \tanh(C_t)$$

پارامترهای این معادلات به مانند مدل LSTM می‌باشد با این تفاوت که (*) نشان دهنده عملیات Convolution و (x) ضرب درایه‌ای را نشان می‌دهد.

۳-۵-۵-۴

به منظور ارزیابی مدل‌های کلاسه‌بندی از روش‌هایی شامل ماتریس پیچیدگی^{۳۰} مطابق با جدول (۳)، Precision مطابق معادله (۱۰)، Recall مطابق معادله (۱۱) و F_{Score} مطابق

۴- پیاده‌سازی

۴-۲- استخراج ویژگی

تعداد چهار ویژگی نقطه‌ای کینماتیک و چهارده ویژگی سفر برای هر یک از ویژگی‌های نقطه‌ای استخراج شده است که در مجموع موجب استخراج پنجاوهش ویژگی سفر شده است. سه ویژگی پیشرفتنه نیز به منظور بالابردن دقت پیش‌بینی در شرایط ترافیکی و آب‌وهوای بارانی پیاده سازی و استخراج شده است. جدول (۴) نمونه ویژگی‌های نقطه‌ای استخراج شده برای حالت استفاده از دوچرخه را نمایش می‌دهد.

۴-۳- انتخاب ویژگی

برای هر روش کلاسیفیکردن تقویت‌کننده ذکر شده، انتخاب ویژگی به صورت جداگانه انجام پذیرفتنه است و تعداد ویژگی‌های ورودی مدل آمده است. مقدار ورودی پارامترهای Scikit-learn در نظر گرفته شده است. مقادیر دقت در این مرحله با روش *Fold Cross Validation*¹⁰ محاسبه شده‌اند. پس از پیاده‌سازی این روش تعداد ۲۶ ویژگی برای مدل GB، ۲۱ ویژگی برای مدل XGBoost، ۲۳ ویژگی برای مدل CatBoost و ۳۰ ویژگی برای مدل LightGBM انتخاب شده‌اند.

داده‌های مورد استفاده در این مقاله مجموعه داده GeoLife می‌باشد، این مجموعه داده مسیرهای GNSS را توسط ۱۸۲ کاربر به مدت بیش از ۵ سال اندازه‌گیری و ذخیره کرده است. این داده‌ها حاوی اطلاعات طول و عرض جغرافیایی، ارتفاع و زمان ثبت می‌باشند. این مجموعه داده توسط دستگاه‌های متنوع ثبت مختصات و تلفن‌های همراه هوشمند ذخیره شده‌اند. درصد از مسیرها شامل نقاط متراکمی هستند که فاصله ثبت ۱ تا ۵ ثانیه یا ۵ تا ۱۰ متر به ازای هر نقطه را دارا می‌باشند. این مجموعه داده در بیش از ۳۰ شهر چین و در برخی از شهرهای واقع در ایالات متحده آمریکا و اروپا توزیع شده‌اند. حجم بیشتر این داده‌ها در چین ثبت شده‌اند. در این مجموعه داده از بین تمامی کاربران، ۶۹ کاربر داده‌های خود را برچسب‌گذاری کرده‌اند.

۴-۱- پیش‌پردازش داده‌ها

پس از انجام پیش‌پردازش داده‌ها، ۹۹۷۰ سفر بر چسب‌گذاری به صورت نامتوزن^{۱۱} ثبت شده است که شامل: ۴۵۶۷ سفر پیاده‌روی، ۱۶۸۳ سفر استفاده از دوچرخه، ۲۰۱۱ سفر استفاده از اتوبوس، ۱۴۶۴ سفر استفاده از اتومبیل و ۲۴۵ سفر استفاده از قطار می‌باشد.

جدول ۴. نمونه ویژگی‌های نقطه‌ای

ID	زمان ثبت	عرض جغرافیایی	طول جغرافیایی	سرعت (m/s)	شتان (m/s ²)	جرک (m/s ³)	تغییر جهت (درجه)
۱	۱۰-۰۶-۲۰۰۸ ۱۷:۲۸:۳۸	۳۹/۹۷۶۵۸۲	۱۱۶/۳۲۹۴۹۱	۲/۳۳۷	-۰/۸۹۴۵	۱/۸۲۴۷۴	۱۷۵/۸۲۵
۲	۱۰-۰۶-۲۰۰۸ ۱۷:۲۸:۳۹	۳۹/۹۷۶۵۶۱	۱۱۶/۳۲۹۴۸۹	۱/۴۴۳	۰/۹۳۰۲	۰/۶۳۱۷۹	۴۸/۹۷۷
۳	۱۰-۰۶-۲۰۰۸ ۱۷:۲۸:۴۰	۳۹/۹۷۶۵۷۴	۱۱۶/۳۲۹۴۸۹	۲/۳۷۳	۱/۵۶۲۰	-۳/۰۵۲۶۵	۴۴/۲۶۹
۴	۱۰-۰۶-۲۰۰۸ ۱۷:۲۸:۴۱	۳۹/۹۷۶۵۸۸	۱۱۶/۳۲۹۴۶۸	۳/۹۳۵	-۱/۴۹۰۶	۱/۵۸۲۱۱	۵۷/۴۴۷

۴-۴- کلاسه‌بندی مدل‌های تقویت‌کننده

اعتبارسنجی و واریانس هریک از پارامترها محاسبه می‌شوند. مقادیری که دارای دقت آموزشی و اعتبارسنجی بالا و واریانس کمتری هستند انتخاب و با استفاده از یک پنجره جستجو گردیدی تمامی پارامترها با هم درنظر گرفته و بهترین مقادیر در پیاده‌سازی استفاده می‌شوند. مقادیر ابزارامترهای شامل تعداد ۹۰۰ درخت، نرخ یادگیری برابر ۰/۱، کمترین تعداد تقسیم درخت برابر ۲، کمترین تعداد برگ درخت برابر ۳ و بیشترین عمق برابر ۱۰، انتخاب شدند که با توجه به ماتریس پیچیدگی جدول (۵)، مقدار میانگین FScore ۹۴/۸۸ درصد محاسبه شد.

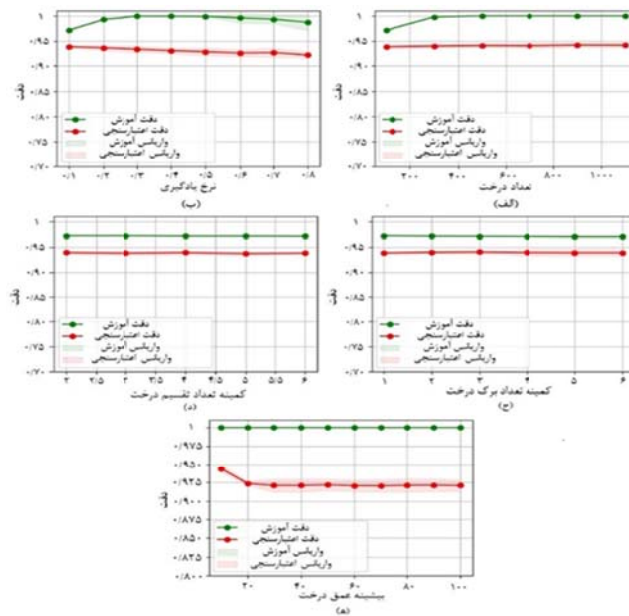
۴-۴-۱- مدل XGBoost

در این مدل، مقادیر پارامترهای تعداد درخت، نرخ یادگیری، کمترین وزن برگ درخت، بیشینه عمق درخت، ۷ و مقدار منظم سازی λ تنظیم شده‌اند. مقادیر دقت آموزشی، دقت اعتبارسنجی و واریانس هر یک از پارامترها به مانند مدل GB محاسبه و با استفاده از یک پنجره جستجو گردیدی مقادیر ۲۰۰ درخت، نرخ یادگیری برابر ۰/۱، کمترین وزن برگ برابر ۲، بیشترین عمق برابر ۲۵، گاما برابر ۵٪ و منظم‌سازی لامبدا برابر ۰/۹ بالاترین دقت را کسب کردند. با توجه به ماتریس پیچیدگی جدول (۶) مقدار میانگین FScore برابر با ۹۵/۱۸ درصد محاسبه شده است.

در مدل‌های پیاده‌سازی شده، ۸۰ درصد داده‌ها تحت عنوان داده‌های آموزشی و ۲۰ درصد باقی‌مانده به عنوان داده‌های تست در نظر گرفته شده‌اند. به دلیل نامتعادل بودن برچسب‌ها از یک نمونه برداری طبقه‌ای استفاده شده تا بتوان از همه برچسب‌ها در آموزش و تست استفاده کرد. در مدل‌های گرفته شده است، با ثابت درنظر گرفتن پارامترهای دیگر و استفاده از روش 10-Fold Cross Validation مناسب پارامترها انتخاب می‌شوند سپس با استفاده از یک پنجره جستجو گردیدی تمامی مقادیر پارامترها با هم درنظر گرفته شده و با استفاده از روش 10-Fold Cross Validation بهترین مقادیر پارامترها که دقت بهینه را منجر می‌شود برای پیش‌بینی در نظر گرفته خواهد شد. کلاسه‌بندی‌ها با توجه به کتابخانه‌های منبع باز xgboost، Scikit-learn، CatBoost و LightGBM در زبان برنامه‌نویسی پایتون پیاده‌سازی شده‌اند. نتایج در ادامه بررسی شده‌اند:

۴-۴-۱-۱- مدل GB

در مدل GB، مقادیر پارامترهای تعداد درخت، نرخ یادگیری، کمینه تعداد تقسیم‌بندی درخت، کمینه تعداد برگ درخت و بیشینه عمق درخت به صورت جدا با انتخاب بازه مقادیر تنظیم می‌شوند. مطابق شکل (۴) مقادیر دقت داده‌های آموزشی، دقت



شکل ۴. تنظیم پارامتر مدل Gradient Boosting

CatBoost ۴-۴- مدل

در این مدل، پارامترهای تعداد درخت، نرخ یادگیری، عمق درخت، مقدار منظم‌سازی L2 و تعداد تقسیم تنظیم شده‌اند. بازه مقادیر دقت و واریانس مطابق مدل GB محاسبه و مقادیر با دقت آموزشی و اعتبارسنجی بالا و واریانس کمتر انتخاب و با استفاده از پنجره جستجو گردیدی تمامی مقادیر انتخابی پارامترها، باهم بررسی شد. با میانگین‌گیری از این مقادیر به صورت خرد، مقادیر ۱۰۰ درخت، نرخ یادگیری ۰/۱۵، پارامتر منظم‌سازی ۱، عمق درخت ۸ و تعداد تقسیم ۲۰۰، بالاترین دقت را کسب کرده‌اند. با توجه به ماتریس پیچیدگی جدول (۸) میانگین F Score برابر با ۹۵/۰۸ درصد محاسبه شد.

LightGBM ۴-۳- مدل

در این مدل، پارامترهای تعداد درخت، نرخ یادگیری، نمونه‌برداری ستون‌ها، بیشینه عمق درخت و کمینه تعداد فرزند تنظیم شده‌اند. ابتدا بازه‌ای برای هر یک از پارامترها انتخاب و سپس دقت آموزشی، دقت اعتبارسنجی و واریانس هر یک مطابق مدل GB محاسبه و مقادیر با دقت بالا و واریانس کم انتخاب می‌شوند. با استفاده از پنجره جستجو گردیدی مقادیر ۲۰۰ درخت، نرخ یادگیری ۰/۰۵، نرخ نمونه‌برداری ستون‌ها ۰/۷، بیشترین عمق درخت ۱۱ و کمینه تعداد فرزند ۲۰، بالاترین دقت را کسب کرده‌اند. با توجه به ماتریس پیچیدگی جدول (۷) مقدار میانگین F Score در این مدل ۹۵/۴۹ درصد برآورد شد.

جدول ۵. ماتریس پیچیدگی مدل GB

کلاس پیش‌بینی شده								نحوه انتخاب پارامتر
Recall	مجموع	قطار	اتومبیل	اتوبوس	دوچرخه	پیاده‌روی		
۰/۹۹۱	۹۱۳	۰	۰	۲	۶	۹۰۵	پیاده‌روی	
۰/۹۴۷	۳۳۷	۰	۰	۲	۳۱۹	۱۶	دوچرخه	
۰/۹۰۰	۴۰۲	۲	۱۹	۳۶۲	۸	۱۱	اتوبوس	
۰/۹۱۵	۲۹۳	۱	۲۶۸	۱۸	۱	۵	اتومبیل	
۰/۷۷۵	۴۹	۳۸	۵	۳	۰	۳	قطار	
-	-	۰/۹۲۷	۰/۹۱۸	۰/۹۳۵	۰/۹۰۵	۰/۹۶۳	Precision	
-	-	۰/۸۴۴	۰/۹۱۶	۰/۹۱۸	۰/۹۵۱	۰/۹۷۷	F_Score	

جدول ۶. ماتریس پیچیدگی مدل XGBoost

کلاس پیش‌بینی شده								نحوه انتخاب پارامتر
Recall	مجموع	قطار	اتومبیل	اتوبوس	دوچرخه	پیاده‌روی		
۰/۹۹۲	۹۱۳	۰	۰	۰	۷	۹۰۶	پیاده‌روی	
۰/۹۵۰	۳۳۷	۰	۰	۲	۳۲۰	۱۵	دوچرخه	
۰/۹۰۸	۴۰۲	۲	۱۶	۳۶۵	۸	۱۱	اتوبوس	
۰/۹۱۵	۲۹۳	۰	۲۶۸	۱۸	۲	۵	اتومبیل	
۰/۷۹۶	۴۹	۳۹	۵	۲	۰	۳	قطار	
-	-	۰/۹۵۱	۰/۹۲۷	۰/۹۴۳	۰/۹۵۰	۰/۹۶۴	Precision	
-	-	۰/۸۶۷	۰/۹۲۱	۰/۹۲۵	۰/۹۰۰	۰/۹۷۸	F_Score	

جدول ۷. ماتریس پیچیدگی مدل LightGBM

کلاس پیش‌بینی شده								نحوه انتخاب پارامتر
Recall	مجموع	قطار	اتومبیل	اتوبوس	دوچرخه	پیاده‌روی		
۰/۹۹۳	۹۱۳	۰	۰	۰	۶	۹۰۷	پیاده‌روی	
۰/۹۴۶	۳۳۷	۰	۰	۳	۳۱۹	۱۵	دوچرخه	
۰/۹۱۳	۴۰۲	۱	۱۷	۳۶۷	۷	۱۰	اتوبوس	
۰/۹۲۱	۲۹۳	۰	۲۷۰	۱۷	۱	۵	اتومبیل	
۰/۸۳۷	۴۹	۴۱	۴	۱	۰	۳	قطار	
-	-	۰/۹۷۶	۰/۹۲۸	۰/۹۴۶	۰/۹۵۸	۰/۹۶۵	Precision	
-	-	۰/۹۰۱	۰/۹۲۵	۰/۹۲۹	۰/۹۵۲	۰/۹۷۹	F_Score	

جدول ۸. ماتریس پیچیدگی مدل CatBoost

کلاس پیش‌بینی شده									۳۶۵
Recall	مجموع	قطار	اتومبیل	اتوبوس	دوچرخه	پیاده‌روی			
۰/۹۹۶	۹۱۳	۰	۰	۱	۳	۹۰۹	پیاده‌روی		
۰/۹۴۱	۳۳۷	۰	۱	۵	۳۱۷	۱۴	دوچرخه		
۰/۹۰۳	۴۰۲	۲	۲۱	۳۶۳	۵	۱۱	اتوبوس		
۰/۹۱۱	۲۹۳	۱	۲۶۷	۱۹	۱	۵	اتومبیل		
۰/۸۱۶	۴۹	۴۰	۳	۲	۱	۳	قطار		
-	-	۰/۹۳۰	۰/۹۱۴	۰/۹۳۱	۰/۹۷۰	۰/۹۶۴	Precision		
-	-	۰/۸۶۹	۰/۹۱۳	۰/۹۱۷	۰/۹۵۵	۰/۹۸۰	F_Score		

نیز $S = ۰/۰۰۱$, $LR_0 = ۰/۰/۰$, $DF = ۵$ و $Schedule$ مقدار دلتای توقف زودهنگام $۰/۰۰۱$ است.

۴-۱-۵-۴. مدل CNN

ابتدا لایه‌های منجر به بهترین دقت طبق جدول (۹) انتخاب شدند که تعداد لایه‌های Convolution در ابتدا کم و سپس افزایش می‌یابد. با فرض تعداد نورون‌های لایه FC برابر ۱۲۸، معماری (و) بهترین دقت را کسب کرد. برای اجرای پنجره گردی فیلتر Convolution برابر با $[۲, ۳, ۵, ۷]$ ، فیلتر Max-Pooling برابر با $[۲, ۳, ۵, ۷]$ و Dropout برابر با $[۰/۱, ۰/۲, ۰/۳, ۰/۴, ۰/۵, ۰/۶, ۰/۷, ۰/۸]$ جستجو و در بین بازه‌ها، به ترتیب $۲, ۳$ و $۷/۰$ انتخاب شدند. شکل (۵) معماری نهایی این مدل است. ماتریس پیچیدگی در جدول (۱۰) نمایش و میانگین F_Score این مدل برابر با $۸۵/۲۶$ درصد محاسبه شد.

۴-۵- کلاسه‌بندی مدل‌های یادگیری عمیق

مدل‌های LSTM, CNN و ConvLSTM با پایتون پیاده‌سازی و پارامترهای آن با داده‌ها تنظیم شدند. ابعاد ورودی داده‌ها طبق شکل (۲) بود. داده اعتبارسنجی زیرمجموعه‌ای از داده آموزشی منظور شد تا بتوان روش توقف زودهنگام را پیاده‌سازی کرد. مقدار M میانه تعداد نقاط سفرها و ۲۳۰ محاسبه شد. برای پیاده‌سازی ابتدا لایه‌های بهترین مدل انتخاب و سپس اندازه فیلترها و مقدار Dropout از پنجره گردیدی محاسبه شد. برای یافتن بهترین معماری لایه‌ها، اندازه فیلتر Convolution برابر $۳, ۳$ ، فیلتر Max-Pooling برابر ۲ و مقدار Dropout برابر $۰/۵$ و اندازه batch size برابر با ۳۲ step decay تعداد اپک‌ها ۵۰ منظور شد. پارامترهای

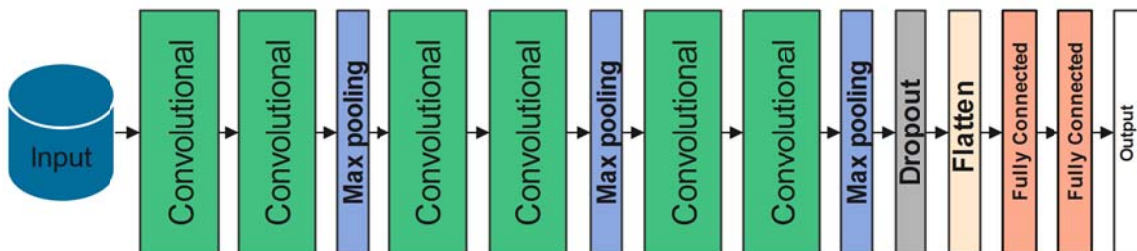
جدول ۹. لایه‌های درنظر گرفته شده مدل CNN

الف ب ج د ه ه و ز ط										لایه ورودی	مجموعه‌ای از داده با ابعاد (۲۳۰×۴) برای هر تقسیم‌بندی
۳۲	۳۲	۳۲	۳۲	۳۲	۳۲	۳۲	۳۲	۳۲	۳۲		
۳۲	۳۲	۳۲	۳۲	۳۲	۳۲	۳۲	۳۲	۳۲	۳۲	Convolutional	
✓	✓	✓	✓	✓	✗	✗	✗	✗	✗	Max-pooling	
۶۴	۶۴	۶۴	۶۴	۶۴	۶۴	۶۴	۶۴	۶۴	✗	Convolutional	
۶۴	۶۴	۶۴	۶۴	۶۴	۶۴	۶۴	۶۴	۶۴	✗	Convolutional	
✓	✓	✓	✓	✓	✗	✗	✗	✗	✗	Max-pooling	
۱۲۸	۱۲۸	۱۲۸	۱۲۸	۱۲۸	۱۲۸	۱۲۸	۱۲۸	✗	✗	Convolutional	
۱۲۸	۱۲۸	۱۲۸	۱۲۸	۱۲۸	۱۲۸	۱۲۸	۱۲۸	✗	✗	Convolutional	
✓	✓	✓	✓	✓	✗	✗	✗	✗	✗	Max-pooling	
✓	✓	✓	✓	✗	✗	✗	✗	✗	✗	Dropout	
✓	✓	✓	✗	✗	✗	✗	✗	✗	✗	FC	
✓	✓	✗	✗	✗	✗	✗	✗	✗	✗	Dropout	
✓	✓	✓	✓	✓	✓	✗	✗	✗	✗	FC	
✓	✗	✗	✗	✗	✗	✗	✗	✗	✗	Dropout	
✓	✓	✓	✓	✓	✓	✓	✓	✓	✓	FC(Softmax)	
۰/۸۳۷	۰/۸۴۱	۰/۸۳۱	۰/۸۴۳	۰/۸۲۰	۰/۷۹۰	۰/۷۵۵	۰/۷۱۸	۰/۷۰۹	دقت		

مدل (د) توانسته بهترین دقت را در بین مدل‌های دیگر کسب کند. ماتریس پیچیدگی مدل LSTM همراه با مقادیر Precision و FScore در جدول (۱۲) نمایش داده شده است که FScore میانگین برابر با ۸۴/۸۰ درصد محاسبه شده است.

۲-۵-۴- مدل LSTM

این مدل نیز به مانند مدل CNN، معماری و لایه‌های مناسب را با در نظر گرفتن جدول (۱۱) انتخاب می‌کند. تعداد نوروں لایه FC برابر ۱۲۸ در نظر گرفته شده است.



شکل ۵. معماری مدل CNN

جدول ۱۰. ماتریس پیچیدگی مدل CNN

کلاس پیش‌بینی شده									کلاس واقعی
Recall	مجموع	قطار	اتومبیل	اتوبوس	دوچرخه	پیاده‌روی			
۰/۹۶۴	۹۱۳	۰	۲	۸	۲۳	۸۸۰			پیاده‌روی
۰/۸۴۶	۳۳۷	۰	۵	۱۳	۲۸۵	۳۴			دوچرخه
۰/۷۲۴	۴۰۲	۰	۶۱	۲۹۱	۱۵	۳۵			اتوبوس
۰/۷۳۰	۲۹۳	۱	۲۱۴	۶۲	۵	۱۱			اتومبیل
۰/۶۱۲	۴۹	۳۰	۱۴	۱	۰	۴			قطار
-	-	۰/۹۶۸	۰/۷۲۳	۰/۷۷۶	۰/۸۶۹	۰/۹۱۳	Precision		
-	-	۰/۷۵۰	۰/۷۲۷	۰/۷۴۹	۰/۸۵۷	۰/۹۳۸	F_Score		

جدول ۱۱. لایه‌های درنظر گرفته شده مدل LSTM

الف ب ج د ه و ز ح ط										
مجموعه‌ای از داده با ابعاد (۲۳۰×۴) برای هر تقسیم‌بندی										لایه ورودی
۱۰۰	۱۰۰	۱۰۰	۱۰۰	۱۰۰	۱۰۰	۱۰۰	۱۰۰	۱۰۰	۱۰۰	LSTM
۱۰۰	۱۰۰	۱۰۰	۱۰۰	۱۰۰	۱۰۰	۱۰۰	۱۰۰	۱۰۰	۱۰۰	LSTM
✓	✓	✓	✓	✓	✗	✗	✗	✗	✗	Dropout
۱۰۰	۱۰۰	۱۰۰	۱۰۰	✗	✗	✗	✗	✗	✗	LSTM
✓	✓	✗	✗	✗	✗	✗	✗	✗	✗	Dropout
✓	✓	✓	✓	✓	✓	✗	✓	✗	✗	FC
✓	✓	✓	✗	✗	✗	✗	✗	✗	✗	Dropout
✓	✓	✓	✗	✗	✗	✗	✗	✗	✗	FC
✓	✗	✗	✗	✗	✗	✗	✗	✗	✗	Dropout
✓	✓	✓	✓	✓	✓	✓	✓	✓	✓	FC(Softmax)
۰/۸۰۵	۰/۸۱۴	۰/۸۲۲	۰/۸۴۰	۰/۸۰۶	۰/۸۴۸	۰/۸۳۱	۰/۸۲۶	۰/۸۱۷	۰/۸۱۷	دقت

جدول ۱۲. ماتریس پیچیدگی LSTM

کلاس پیش‌بینی شده									نمودار
Recall	مجموع	قطار	اتومبیل	اتوبوس	دوچرخه	پیاده‌روی			
۰/۹۷۱	۹۱۳	۰	۳	۲	۲۱	۸۸۷	پیاده‌روی		
۰/۸۳۴	۳۳۷	۰	۶	۱۶	۲۸۱	۳۴	دوچرخه		
۰/۷۱۶	۴۰۲	۲	۶۰	۲۸۸	۱۶	۳۶	اتوبوس		
۰/۷۱۰	۲۹۳	۴	۲۰۸	۶۸	۳	۱۰	اتومبیل		
۰/۵۵۱	۴۹	۲۷	۱۶	۳	۰	۳	قطار		
-	-	۰/۸۱۸	۰/۷۱۰	۰/۷۶۴	۰/۸۷۵	۰/۹۱۴	Precision		
-	-	۰/۶۵۸	۰/۷۱۰	۰/۷۳۹	۰/۸۵۴	۰/۹۴۲	F_Score		

شده حالت‌های حمل و نقلی بر اساس مدل‌های کلاسه بندی، در شکل (۷) نمایش داده شده است. مدل LightGBM در حالت استفاده از اتوبوس با ۹۲/۹۱ درصد، حالت استفاده از اتومبیل با ۹۲/۴۷ درصد و استفاده از قطار با ۹۰/۱۱ درصد و مدل CatBoost در حالت استفاده از دوچرخه با ۹۵/۴۸ درصد و در حالت پیاده‌روی با کسب ۹۸ درصد توانسته‌اند بهترین FScore را در بین مدل‌های دیگر بدست آورند. تمامی محاسبات با استفاده از سرویس ابری Google Colaboratory زمان محاسبه بر اساس حجم ورودی داده‌ها در نمودار شکل (۷) نمایش داده شده است. با توجه به این نمودار مدل LightGBM با روند زمان محاسباتی کمتر بهترین مدل در بین مدل‌های تقویت‌کننده و مدل CNN بهترین مدل بر اساس صرف زمان در بین مدل‌های یادگیری عمیق می‌باشد. مطابق جدول (۱۵) مدل‌های LightGBM با انتخاب ۲۳ ویژگی، CatBoost با ۳۰ ویژگی، XGBoost با ۲۱ ویژگی، GB با انتخاب ۲۶ ویژگی به ترتیب با میانگین ۹۵/۴۹ FScore، ۹۵/۴۹ FScore با انتخاب ۹۴/۸۸، ۹۵/۱۸، ۹۵/۰۸ از ۳ مدل یادگیری عمیق، ConvLSTM، CNN، LSTM، ConvLSTM به ترتیب با ۸۴/۸۰، ۸۵/۲۶، ۸۵/۱۴ FScore کنند. بهترین F-Score در مدل‌های تقویت‌کننده، مدل LightGBM و در مدل‌های یادگیری عمیق، مدل ConvLSTM می‌باشد.

بعد ورودی در این مدل متفاوت از مدل‌های قبلی یادگیری عمیق می‌باشد. ورودی این مدل یک تنسور ۵ بعدی به شکل (کانال، ستون، سطر، فاصله زمانی، تعداد نمونه‌ها) می‌باشد. داده‌ها در دو مدل قبل به شکل سری زمانی به ۲۳۰ نقطه تقسیم شده بودند، در این مدل، این تعداد به n زیرمجموعه m تابی تقسیم می‌شود. سطر داده‌ها برابر با ۱، فاصله زمانی برابر m ، ستون‌ها برابر m و کانال‌ها برابر با تعداد ویژگی‌های نقطه‌ای در نظر گرفته می‌شوند. چون در هر سفر ۲۳۰ نقطه وجود دارد، مقادیر n و m به ترتیب ۵ و ۴۶ محاسبه می‌شوند. جدول (۱۳) لایه‌های در نظر گرفته شده در این مدل را نشان می‌دهد. تعداد نورون‌های لایه FC ۲۵۶ در نظر گرفته شده‌اند. مدل (۶) توانسته بالاترین دقت را کسب کند. سپس با استفاده از یک پنجره گردیدی مقادیر فیلتر Convolution برابر با [۱, ۱, ۱, ۱]، [۱, ۱, ۱, ۱] و مقادیر Dropout با [۰/۸، ۰/۷، ۰/۶، ۰/۵، ۰/۴، ۰/۳، ۰/۲، ۰/۱] جستجو شده‌اند که به ترتیب مقادیر (۱, ۳) و ۰/۵ به بالاترین دقت میانگین FScore برابر با ۸۵/۴۱ درصد دست یافته‌اند. جدول (۱۴) ماتریس پیچیدگی این مدل را نشان می‌دهد.

۴-۶- ارزیابی نتایج

با توجه به نامتقارن بودن برچسب داده‌های ورودی، بهترین ارزیابی نهایی دقت، FScore می‌باشد. مقادیر FScore محاسبه

جدول ۱۳. لایه‌های درنظر گرفته شده مدل ConvLSTM

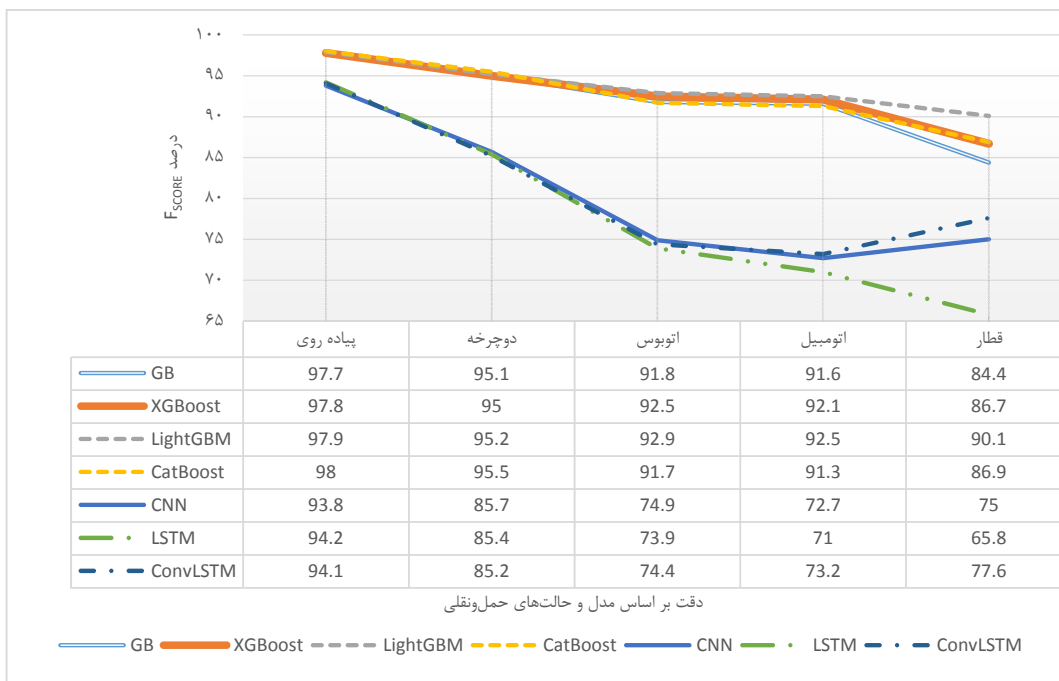
الف ب ج د ه و ز ط ی											
مجموعه‌ای از داده با ابعاد (۵×۱×۴۶×۴) برای هر تقسیم‌بندی											
لایه ورودی											
۱۰۰	۱۰۰	۱۰۰	۱۰۰	۱۰۰	۱۰۰	۱۰۰	۱۰۰	۱۰۰	۱۰۰	۱۰۰	ConvLSTM
۱۰۰	۱۰۰	۱۰۰	۱۰۰	۱۰۰	۱۰۰	۱۰۰	۱۰۰	۱۰۰	۱۰۰	۱۰۰	ConvLSTM
✓	✓	✓	✓	✓	✓	✓	✓	✓	✓	✗	Dropout
۲۰۰	۲۰۰	۲۰۰	۲۰۰	۲۰۰	۲۰۰	۲۰۰	۲۰۰	۲۰۰	✗	✗	ConvLSTM
۲۰۰	۲۰۰	۲۰۰	۲۰۰	۲۰۰	۲۰۰	۲۰۰	۲۰۰	۲۰۰	✗	✗	ConvLSTM
✓	✓	✓	✓	✓	✓	✓	✗	✗	✗	✗	Dropout
۳۰۰	۳۰۰	۳۰۰	✗	✗	✗	✗	✗	✗	✗	✗	ConvLSTM
۳۰۰	۳۰۰	۳۰۰	✗	✗	✗	✗	✗	✗	✗	✗	ConvLSTM
✓	✓	✗	✗	✗	✗	✗	✗	✗	✗	✗	Dropout
✓	✓	✓	✓	✓	✓	✓	✓	✓	✓	✓	FC
✓	✓	✓	✓	✓	✓	✓	✗	✗	✓	✗	Dropout
✓	✗	✗	✓	✓	✗	✗	✗	✗	✗	✗	FC
✓	✗	✗	✓	✗	✗	✗	✗	✗	✗	✗	Dropout
✓	✓	✓	✓	✓	✓	✓	✓	✓	✓	✓	FC(Softmax)
۰/۸۴۲	۰/۸۲۵	۰/۸۰۴	۰/۸۴۰	۰/۸۴۱	۰/۸۴۵	۰/۸۴۴	۰/۸۴۲	۰/۸۲۸	۰/۸۰۴	دقت	

جدول ۱۴. ماتریس پیچیدگی ConvLSTM

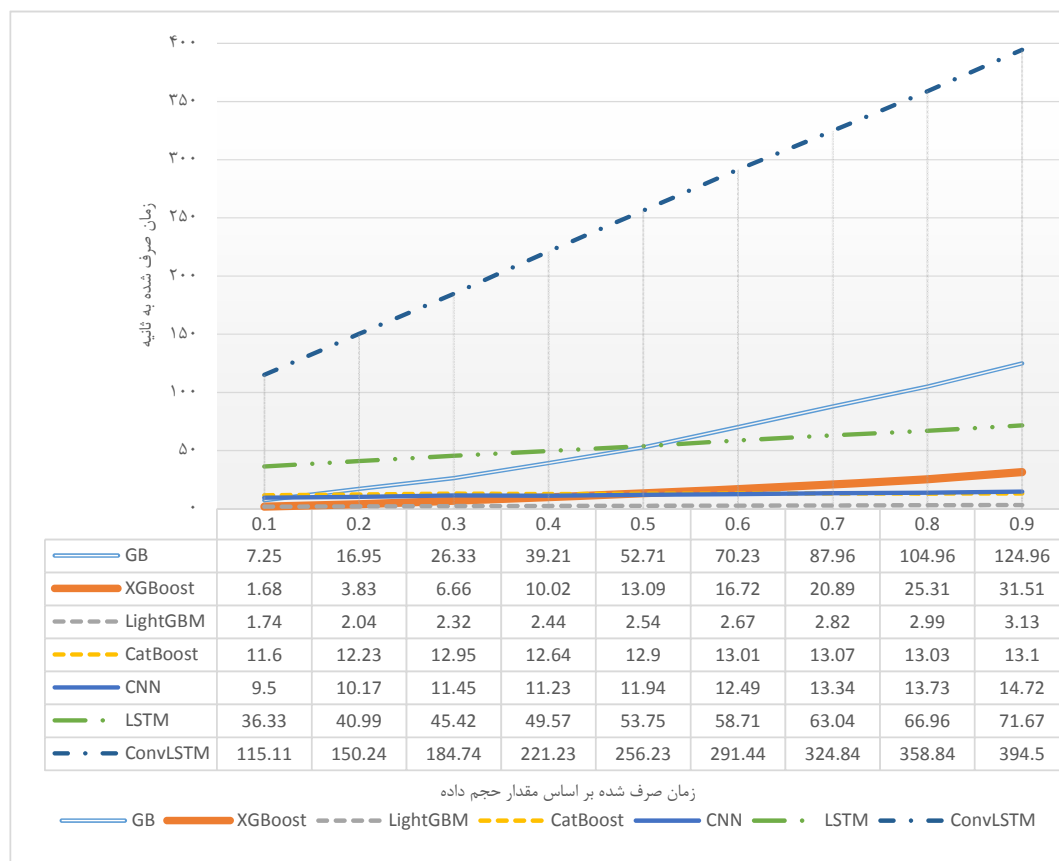
کلاس پیش‌بینی شده								کلاس واقعی
Recall	مجموع	قطار	اتومبیل	اتوبوس	دوچرخه	پیاده‌روی		
۰/۹۷۶	۹۱۳	۰	۰	۴	۱۸	۸۹۱	پیاده‌روی	
۰/۸۱۹	۳۳۷	۰	۲	۱۸	۷۷۶	۴۱	دوچرخه	
۰/۷۲۹	۴۰۲	۰	۶۱	۲۹۳	۱۴	۳۴	اتوبوس	
۰/۷۱۷	۲۹۳	۳	۲۱۰	۶۷	۳	۱۰	اتومبیل	
۰/۶۷۳	۴۹	۳۳	۸	۴	۰	۴	قطار	
-	-	۰/۹۱۷	۰/۷۴۷	۰/۷۵۹	۰/۸۸۷	۰/۹۰۹	Precision	
-	-	۰/۷۷۶	۰/۷۳۲	۰/۷۴۴	۰/۸۵۲	۰/۹۴۱	F_Score	

جدول ۱۵. میانگین دقต بر اساس مدل‌های کلاسه‌بندی

سرعت (درصد داده‌ها به ثانیه) ۸۰	میانگین دقت (درصد)	تعداد ویژگی انتخاب شده	مدل کلاسه‌بندی
۱۰۴/۹۶	۹۴/۸۸	۲۶	GB
۲۵/۳۱	۹۵/۱۸	۲۱	XGBoost
۲/۹۹	۹۵/۴۹	۲۳	LightGBM
۱۳/۰۲	۹۵/۰۸	۳۰	CatBoost
۱۴/۷۲	۸۵/۲۶	---	CNN
۷۱/۶۷	۸۴/۸۰	---	LSTM
۳۹۴/۰	۸۵/۴۱	---	ConvLSTM



شکل ۶. مقدار دقت F_{Score} محاسبه شده بر اساس مدل‌های کلاس‌بندی



شکل ۷. سرعت محاسبه بر اساس مدل‌های کلاس‌بندی

۵-نتیجه گیری

استخراج و انتخاب ویژگی به شکل دستی می‌باشد. بیشترین کلاس‌بندی اشتباه بین دو حالات استفاده از اتوبوس و استفاده از اتومبیل رخ داده است، در مطالعات آینده از ویژگی‌های GIS و ویژگی‌های حرکتی مکمل دیگر به منظور بهبود دقت استفاده خواهد شد. طبق مشاهدات، عدم دسترسی به یک مجموعه داده بزرگ‌تر از مسیر GNSS به عنوان ورودی در مدل‌های یادگیری عمیق، منجر به کاهش دقت خواهد شد. به همین جهت استفاده از ترکیب دو مدل یادگیری عمیق و مدل تقویت‌کننده و استفاده از مدل‌های یادگیری نیمه نظرارت شده می‌تواند عدم دسترسی به مجموعه داده بزرگ‌تر را بهبود بخشد.

۶-پی‌نوشت‌ها

1. Location Based Services (Lbs)
2. Global Navigation Satellite System (Gnss)
3. Boosting Method
4. Jerk
5. Gradient Boosting
6. Extreme Gradient Boosting
7. Lightweight Gradient Boosting Machines
8. Category Boosting
9. Convolutional Neural Network
10. Long Short Term Memory
11. Convolutional Long Short Term Memory
12. Filter Based
13. Wrapper Based
14. Forward Search
15. Categorical Cross-Entropy
16. Loss Function
17. Regularization
18. Gradient-Based One-Side Sampling
19. Exclusive Feature Bundling
20. Categorical Feature
21. Greedy Target-Based Statistics
22. Prior Value
23. Feed Forward
24. Rectified Linear Units
25. Recurrent Neural Networks
26. Forget Gate
27. Input Gate
28. Output Gate
29. Cell State
30. Confusion Matrix
31. Imbalanced

حمل و نقل هوشمند نقش مهمی در زندگی روزمره شهروندان دارد و هر کشور پیشرفت‌هه ملزم به توسعه سیستم‌های حمل و نقلی خود در جهت تسهیل زندگی در شهر می‌باشد. پیش‌نیاز شناخت بسیاری از مشکلات حمل و نقلی، پیش‌بینی استفاده از حالت‌های حمل و نقلی شهر و ندان می‌باشد. گسترش فناوری GNSS و تلفن‌های هوشمند توانایی ثبت حجم عظیمی از داده‌ها در کمترین زمان را فراهم آورده و موجب شده تا بتوان سریع‌تر و با دقت‌تر الگوهای پنهان حرکتی افراد را کشف کرد. در این پژوهش از داده‌های با کیفیت منبع باز GeoLife به همراه سه مدل یادگیری عمیق و چهار مدل تقویت‌کننده استفاده شده تا به وسیله داده‌های GNSS به تهایی بتوان پیش‌بینی حالت‌های حمل و نقلی پیاده‌روی، استفاده از دوچرخه، استفاده از اتومبیل، استفاده از اتوبوس و استفاده از قطار را انجام داد. پیش‌پردازش داده‌ها بر اساس فیلتر حد آستانه با توجه به ویژگی‌های طبیعی هر حالت حمل و نقلی انجام پذیرفته است. با استخراج ویژگی‌های نقطه‌ای شامل: سرعت، شتاب، جرک و تغییر جهت، مدل‌های ConvLSTM، LSTM، CNN، که زیر مجموعه روش یادگیری عمیق می‌باشند، پیاده‌سازی شده‌اند. داده‌های ورودی این مدل‌ها از چهار کanal تشکیل شده که هر کanal یک ویژگی نقطه‌ای را به ترتیب زمان ثبت شده سفر در خود ذخیره می‌کند. سفرها در این مدل به تعداد میانه نقاط موجود در مسیر محدود شده‌اند. مجموعه‌ای از معماری‌های مختلف برای این روش پیاده‌سازی شده و با تنظیم اندازه فیلترها، بهترین آنها شناسایی و انتخاب می‌شوند. از روش توقف زودهنگام و step decay schedule شده تا به ترتیب از بیش‌برازش جلوگیری و بهترین نقطه تابع هزینه یافته شود. در روش‌های تقویت‌کننده تعداد ۵۶ ویژگی سفر و سه ویژگی پیشرفت‌های استخراج و پس از انتخاب XGBoost ویژگی بر اساس روش ترکیبی مدل‌های CatBoost و LightGBM پیاده‌سازی و پارامترهای آن تنظیم شده تا بهترین دقت را بآورد کنند. پس از پیاده‌سازی، مدل LightGBM در حالت‌های استفاده از اتوبوس، استفاده از اتومبیل و استفاده از قطار و همچنین مدل CatBoost در حالت‌های پیاده‌روی و استفاده از دوچرخه توانسته‌اند بهترین دقت را کسب کنند. در حالت کلی نیز مدل LightGBM بالاتر از بقیه مدل‌ها با کسب میانگین FScore ۹۵/۴۹ درصد، توانسته بهترین پیش‌بینی را با سرعت بالاتری از بقیه مدل‌ها انجام دهد. انتخاب این مدل نشان‌دهنده ارزش

۷- مراجع

- of the 22nd ACM SIGKDD International Conference on Knowledge Discovery and Data Mining.
- Chon, J. and H. Cha, (2011), "Lifemap: A smartphone-based context provider for location-based services", *IEEE Pervasive Computing* 10(2), pp.58-67.
 - Chung, E.-H. and A. Shalaby, (2005), "A trip reconstruction tool for GPS-based personal travel surveys", *Transportation Planning and Technology* 28(5), pp.381-401.
 - Cui, G., J. Luo and X. Wang, (2018), "Personalized travel route recommendation using collaborative filtering based on GPS trajectories", *International Journal of Digital Earth* 11(3), pp.284-307.
 - Dabiri, S. and K. Heaslip, (2018), "Inferring transportation modes from GPS trajectories using a convolutional neural network." *Transportation Research Part C: Emerging Technologies* 86, pp.360-371.
 - Das, R. D. and S. Winter, (2016), "Detecting urban transport modes using a hybrid knowledge driven framework from GPS trajectory", *ISPRS International Journal of Geo-Information* 5(11), pp.207.
 - Dorogush, A. V., V. Ershov and A. Gulin, (2018), "CatBoost: gradient boosting with categorical features support", arXiv preprint arXiv:1810.11363.
 - Endo, Y., H. Toda, K. Nishida and A. Kawanobe, (2016), "Deep feature extraction from trajectories for transportation mode estimation", *Pacific-Asia Conference on Knowledge Discovery and Data Mining*, Springer.
 - Friedman, J. H., (2001), "Greedy function approximation: a gradient boosting machine", *Annals of Statistics*, pp.1189-1232.
 - Ge, R., S. M. Kakade, R. Kidambi and P. Netrapalli, (2019), "The step decay schedule: A near optimal, geometrically decaying learning rate procedure for least squares", arXiv preprint arXiv:1904.12838.
 - Gers, F. A., J. Schmidhuber and F. Cummins (1999), "Learning to forget: Continual prediction with LSTM".
 - Guo, M., S. Liang, L. Zhao and P. Wang (2020), "Transportation Mode Recognition With Deep Forest Based on GPS Data", *IEEE Access* 8, pp.150891-150901.
 - Han, J., M. Kamber and J. Pei, (2011), "Data mining concepts and techniques third edition", *The Morgan Kaufmann Series in Data Management Systems* 5(4), pp.83-124.
 - Adler, J. L. and V. J. Blue, (1998), "Toward the design of intelligent traveler information systems", *Transportation Research Part C: Emerging Technologies* 6(3), pp.157-172.
 - Bantis, T. and J. Haworth, (2017), "Who you are is how you travel: A framework for transportation mode detection using individual and environmental characteristics", *Transportation Research Part C: Emerging Technologies* 80, pp.286-309.
 - Bao, J., Y. Zheng, D. Wilkie and M. Mokbel, (2015), "Recommendations in location-based social networks: a survey", *GeoInformatica* 19(3), pp.525-565.
 - Bedogni, L., M. Di Felice and L. Bononi, (2016), "Context-aware Android applications through transportation mode detection techniques", *Wireless Communications and Mobile Computing* 16(16), pp.2523-2541.
 - Bengio, Y., P. Frasconi and P. Simard, (1993), "The problem of learning long-term dependencies in recurrent networks", *IEEE International Conference on Neural Networks*, IEEE.
 - Biljecki, F., H. Ledoux and P. Van Oosterom, (2013), "Transportation mode-based segmentation and classification of movement trajectories", *International Journal of Geographical Information Science* 27(2), pp.385-407.
 - Bolbol, A., T. Cheng, I. Tsapakis and J. Haworth, (2012), "Inferring hybrid transportation modes from sparse GPS data using a moving window SVM classification", *Computers, Environment and Urban Systems* 36(6), pp.526-537.
 - Caruana, R., S. Lawrence and L. Giles, (2001), "Overfitting in neural nets: Backpropagation, conjugate gradient, and early stopping", *Advances in Neural Information Processing Systems*, pp.402-408.
 - Chamoso, P., A. González-Briones, S. Rodríguez and J. M. Corchado, (2018), "Tendencies of technologies and platforms in smart cities: a state-of-the-art review", *Wireless Communications and Mobile Computing*.
 - Chatzimilioudis, G., A. Konstantinidis, C. Laoudias and D. Zeinalipour-Yazti, (2012), "Crowdsourcing with smartphones", *IEEE Internet Computing* 16(5), pp.36-44.
 - Chen, T. and C. Guestrin, (2016), "Xgboost: A scalable tree boosting system", *Proceedings*

- Novaković, J. D., A. Veljović, S. S. Ilić, Ž. Papić and T. Milica, (2017), "Evaluation of classification models in machine learning." Theory and Applications of Mathematics & Computer Science 7(1), pp.39–46.
- Nwankpa, C., W. Ijomah, A. Gachagan and S. Marshall, (2018), "Activation functions: Comparison of trends in practice and research for deep learning." arXiv preprint arXiv:1811.03378.
- Pan, G., G. Qi, Z. Wu, D. Zhang and S. Li, (2012), "Land-use classification using taxi GPS traces", IEEE Transactions on Intelligent Transportation Systems 14(1), pp.113-123.
- Payne, S., (2015), "Study on key performance indicators for intelligent transport systems: final report in support of the implementation of the EU Legislative Framework on ITS (Directive 2010/40/EU)".
- Phithakkitnukoon, S., T. Horanont, G. Di Lorenzo, R. Shibasaki and C. Ratti, (2010), "Activity-aware map: Identifying human daily activity pattern using mobile phone data, International workshop on human behavior understanding, Springer.
- Prokhorenkova, L., G. Gusev, A. Vorobev, A. V. Dorogush and A. Gulin, (2017), "CatBoost: unbiased boosting with categorical features", arXiv preprint arXiv:1706.09516.
- Quessada, M. S., R. S. Pereira, W. Revejes, B. Sartori, E. N. Gottsfritz, D. D. Lieira, M. A. da Silva, G. P. Rocha Filho and R. I. Meneguette (2020), "ITSMEI: An intelligent transport system for monitoring traffic and event information", International Journal of Distributed Sensor Networks 16(10): 1550147720963751.
- Scheiner, J. and C. Holz-Rau, (2007), "Travel mode choice: affected by objective or subjective determinants?", Transportation 34(4), pp. 487-511.
- Scherer, D., A. Müller and S. Behnke, (2010), "Evaluation of pooling operations in convolutional architectures for object recognition", International conference on artificial neural networks, Springer.
- Shi, X., Z. Chen, H. Wang, D.-Y. Yeung, W. K. Wong and W.-c. Woo, (2015), "Convolutional LSTM network: A machine learning approach for precipitation nowcasting", arXiv preprint arXiv:1506.04214.
- Simonyan, K. and A. Zisserman, (2014), "Very deep convolutional networks for large-scale image recognition", arXiv preprint arXiv:1409.1556.
- Hochreiter, S., (1998), "The vanishing gradient problem during learning recurrent neural nets and problem solutions", International Journal of Uncertainty, Fuzziness and Knowledge-Based Systems 6(02), pp.107-116.
- Jahangiri, A. and H. Rakha, (2014), "Developing a support vector machine (SVM) classifier for transportation mode identification by using mobile phone sensor data", Transportation Research Board 93rd Annual Meeting.
- Jarašūniene, A., (2007), "Research into intelligent transport systems (ITS) technologies and efficiency", Transport 22(2), pp.61-67.
- Jović, A., K. Brkić and N. Bogunović, (2015), "A review of feature selection methods with applications", 2015 38th international convention on information and communication technology, electronics and microelectronics (MIPRO), Ieee.
- Ke, G., Q. Meng, T. Finley, T. Wang, W. Chen, W. Ma, Q. Ye and T.-Y. Liu, (2017), "Lightgbm: A highly efficient gradient boosting decision tree", Advances in neural information processing systems 30, pp. 3146-3154.
- Kingma, D. P. and J. Ba, (2014), "Adam: A method for stochastic optimization", arXiv preprint arXiv:1412.6980.
- Kitchin, R., (2014), "The real-time city? Big data and smart urbanism." GeoJournal 79(1): pp.1-14.
- Krizhevsky, A., I. Sutskever and G. E. Hinton, (2017), "ImageNet classification with deep convolutional neural networks", Communications of the ACM 60(6), pp.84-90.
- Langley, R. B., (1997), "Innovation: the GPS error budget", GPS world 8(3), pp.51-56.
- Li, J., X. Pei, X. Wang, D. Yao, Y. Zhang and Y. Yue, (2021), "Transportation mode identification with GPS trajectory data and GIS information", Tsinghua Science and Technology 26(4), pp.403-416.
- Lipton, Z. C., C. Elkan and B. Narayanaswamy (2014). Optimal thresholding of classifiers to maximize F1 measure. Joint European Conference on Machine Learning and Knowledge Discovery in Databases, Springer.
- Nawaz, A., H. Zhiqiu, W. Senzhang, Y. Hussain, I. Khan and Z. Khan, (2020), "Convolutional LSTM based transportation mode learning from raw GPS trajectories." IET Intelligent Transport Systems 14(6), pp.570-577.

- Venkatesh, B. and J. Anuradha, (2019), "A review of feature selection and its methods", *Cybernetics and Information Technologies* 19(1), pp.3-26.
- Vu, T. H., L. Dung and J.-C. Wang, (2016), "Transportation mode detection on mobile devices using recurrent nets", Proceedings of the 24th ACM international conference on Multimedia.
- Wang, B., Y. Wang, K. Qin and Q. Xia (2018), "Detecting transportation modes based on LightGBM classifier from GPS trajectory data. 2018 26th International Conference on Geoinformatics, IEEE".
- Xiao, Z., Y. Wang, K. Fu and F. Wu, (2017), "Identifying different transportation modes from trajectory data using tree-based ensemble classifiers", *ISPRS International Journal of Geo-Information* 6(2), pp.57.
- Yang, X., L. Tang, L. Niu, X. Zhang and Q. Li, (2018), "Generating lane-based intersection maps from crowdsourcing big trace data", *Transportation Research Part C: Emerging Technologies* 89, pp.168-187.
- Zheng, Y., H. Fu, X. Xie, W. Ma and Q. Li, (2011), "Geolife GPS Trajectory Dataset-User Guide", Microsoft Research.
- Zheng, Y., Q. Li, Y. Chen, X. Xie and W.-Y. Ma, (2008), "Understanding mobility based on GPS data", Proceedings of the 10th international conference on Ubiquitous computing.
- Zheng, Y., L. Liu, L. Wang and X. Xie (2008), "Learning transportation mode from raw gps data for geographic applications on the web", Proceedings of the 17th international conference on World Wide Web.
- Song, X., H. Kanasugi and R. Shibasaki, (2016), "Deeptransport: Prediction and simulation of human mobility and transportation mode at a citywide level", Proceedings of the Twenty-Fifth International Joint Conference on Artificial Intelligence.
- Stenneth, L., O. Wolfson, P. S. Yu and B. Xu (2011), "Transportation mode detection using mobile phones and GIS information", Proceedings of the 19th ACM SIGSPATIAL international conference on advances in geographic information systems.
- Stopher, P., C. Fitzgerald and J. Zhang, (2008), "Search for a global positioning system device to measure person travel", *Transportation Research Part C: Emerging Technologies* 16(3), pp.350-369.
- Su, X., H. Caceres, H. Tong and Q. He, (2016), "Online travel mode identification using smartphones with battery saving considerations", *IEEE Transactions on Intelligent Transportation Systems* 17(10): pp.2921-2934.
- Tamane, S. C., N. Dey and A. E. Hassanien (2020), "Security and Privacy Applications for Smart City Development, Springer".
- Tang, L., Z. Kan, X. Zhang, X. Yang, F. Huang and Q. Li, (2016), "Travel time estimation at intersections based on low-frequency spatial-temporal GPS trajectory big data", *Cartography and Geographic Information Science* 43(5), pp.417-426.
- Tang, L., X. Yang, Z. Dong and Q. Li, (2016), "CLRIC: Collecting lane-based road information via crowdsourcing", *IEEE Transactions on Intelligent Transportation Systems* 17(9), pp.2552-2562.

Identifying Transportation Modes from Trajectory Dataset using Boosting and Deep Learning Methods in Intelligent Transportation Systems

Sajjad Sowlati, School of Surveying and Geospatial Engineering, University of Tehran, Tehran, Iran.

Rahim Ali Abbaspour, Associate Professor, School of Surveying and Geospatial Engineering, University of Tehran, Tehran, Iran.

Alireza Chehreghan, Assistant Professor, Faculty of Mining Engineering, Sahand University of Technology, Tabriz, Iran.

E-mail: abaspour@ut.ac.ir

Received: March 2023- Accepted: August 2023

ABSTRACT

Due to the rapid expansion of urbanization, the significance of intelligent transportation in facilitating citizen mobility has garnered increased attention. The fundamental prerequisite for establishing and utilizing intelligent transportation services lies in the identification and prediction of transportation modes. With the progression of location technologies, agents, and smartphones, an abundance of information is generated by numerous devices utilizing Global Navigation Satellite Systems (GNSS). In this study, GNSS sensors were employed in smartphones (Geolife dataset) to extract 4 Point features, 59 travel features, and 3 advanced features from the GNSS dataset. Subsequently, four Boosting classification models, namely GB, XGBoost, LightGBM, and CatBoost, were utilized alongside hybrid feature selection techniques. Additionally, three deep learning classification models, including CNN, LSTM, and ConvLSTM, were implemented to predict transportation modes encompassing walking, biking, bus usage, car usage, and train usage. In conclusion, the LightGBM classification model demonstrated superior performance in predicting transportation modes, exhibiting a higher F_{Score} (95.49%) and requiring less time complexity compared to other models.

Keywords: Intelligent Transportation System (ITS), Transportation Modes, Trajectory Data, Deep Learning